

# TRAITEMENT D'IMAGE POUR LE PROTOTYPE DU RFQ SPIRAL2

Alain C France, O. Piquet

# SOMMAIRE

## OBJECTIF

## GÉNÉRALITÉS

montage expérimental – principe des mesures – images numériques délivrées par les caméras – mosaïquage – algorithmes de détection de mouvement

## PRE-PROCESSING

calcul de la luminance – étirement de contraste – filtrage linéaire – filtre gaussien passe bas – facteur d'échelle – jacobien et hessien de la luminance – exemples de masques

## ALGORITHME ( I )

principe de la détection de mouvement – exemple – statistiques

## ALGORITHME ( II )

le corrélateur – l'interpolateur – exemple – statistiques

## ALGORITHME ( III )

géométrie différentielle – courbures locales – détection de bord – localisation de bord par interpolateur – transformation de Hough

# OBJECTIF

## Design du RFQ

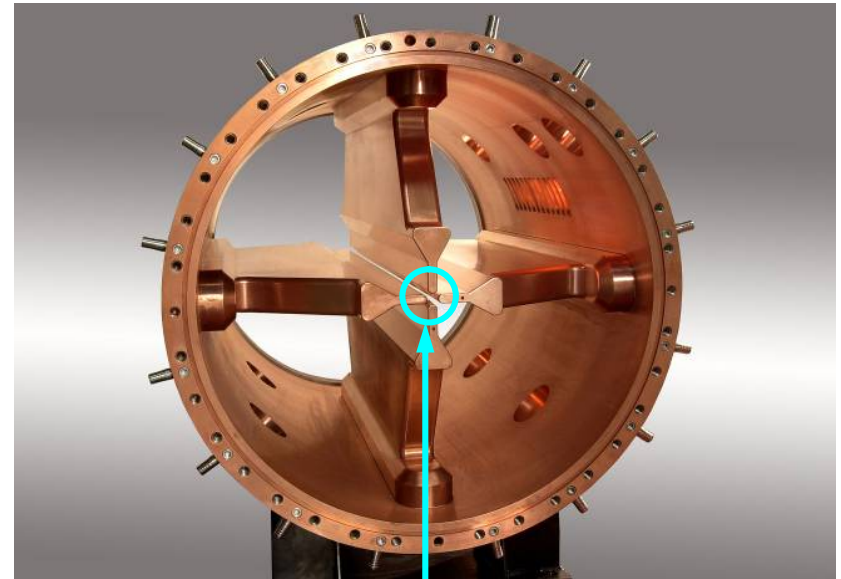
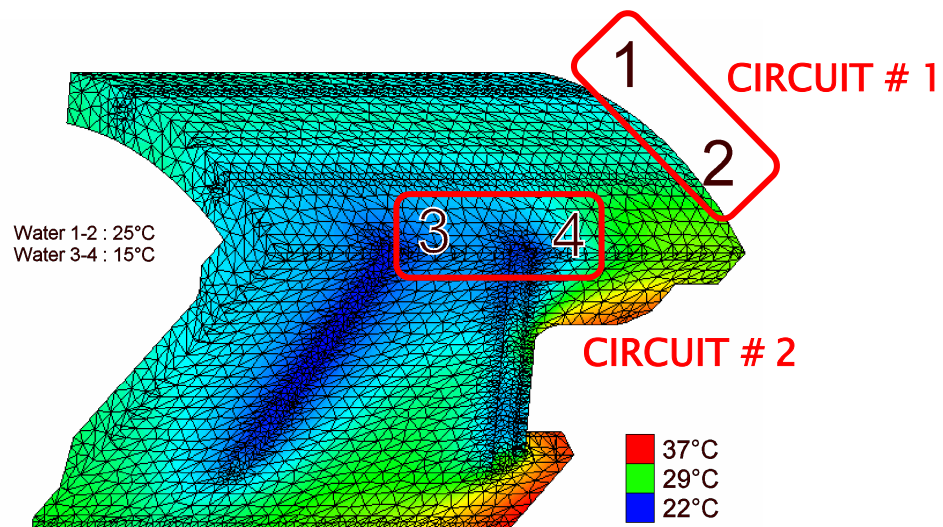
spécifications issues de la dynamique de faisceau



design de la cavité à température ambiante



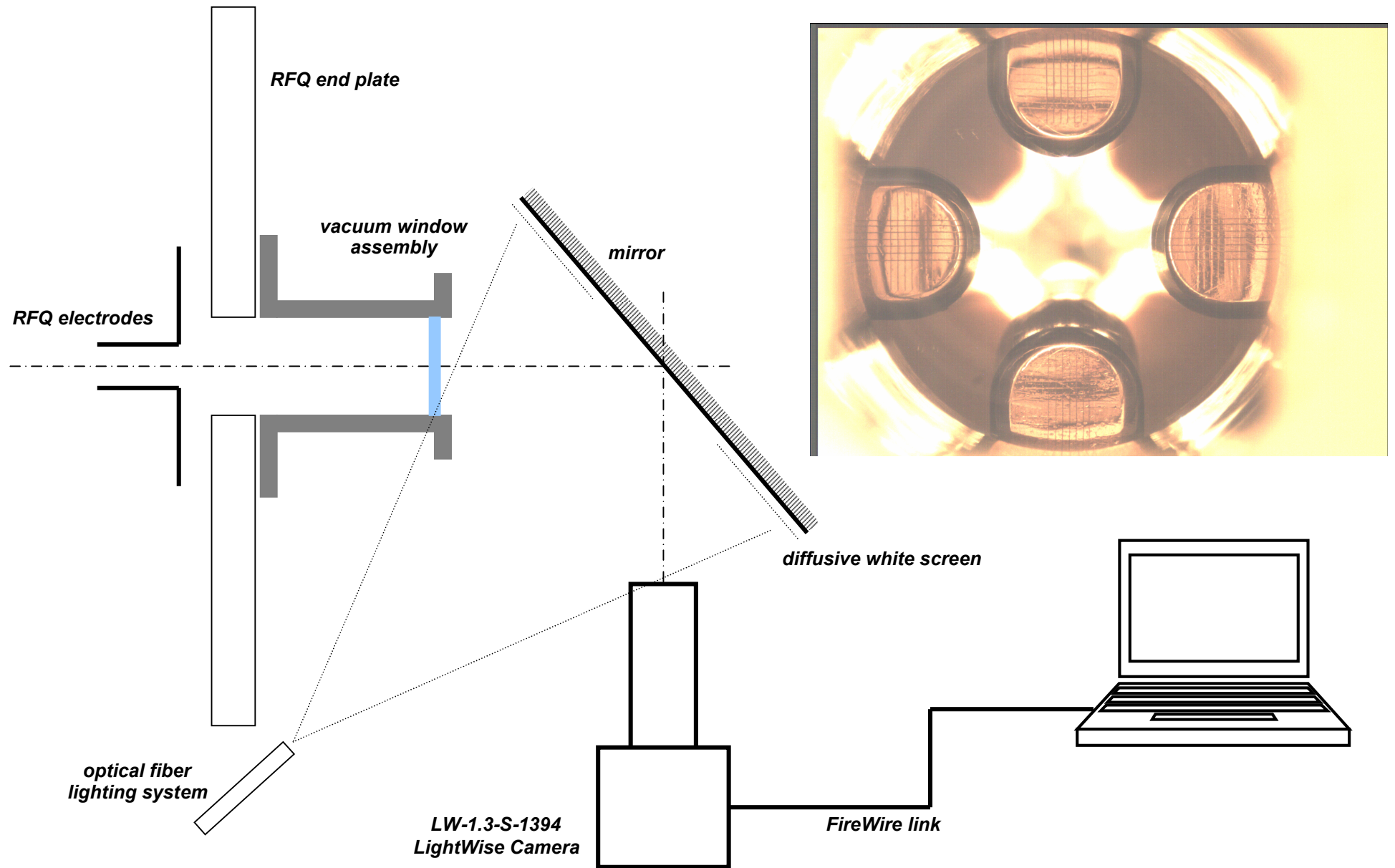
compensation des déformations induites par le dépôt de puissance RF au moyen de 2 circuits de refroidissement indépendants



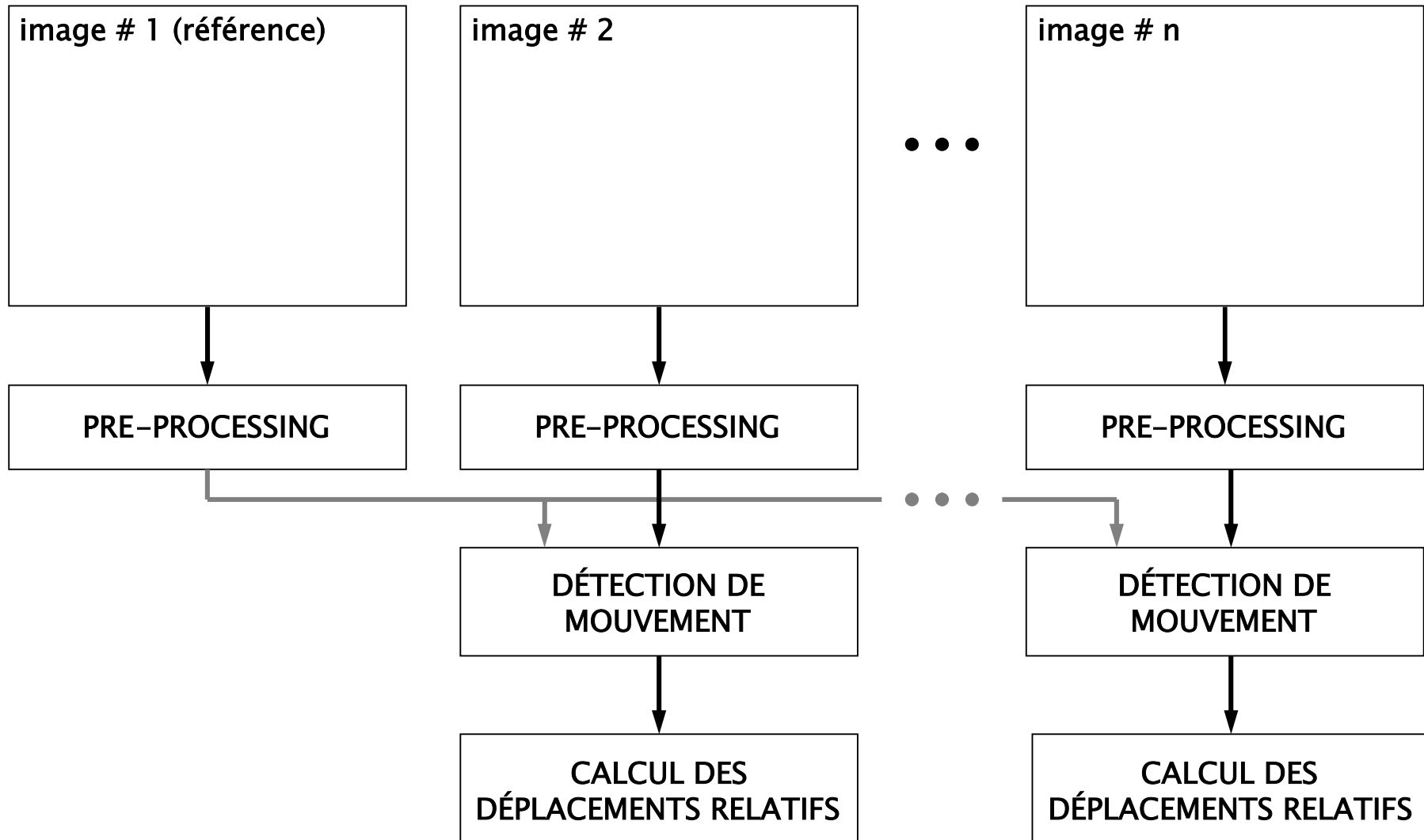
## But des essais

mesurer les mouvements des électrodes dans la zone axiale en fonction de la densité de puissance RF et des températures des deux circuits d'eau.

# MONTAGE EXPÉRIMENTAL



# PRINCIPE DES MESURES

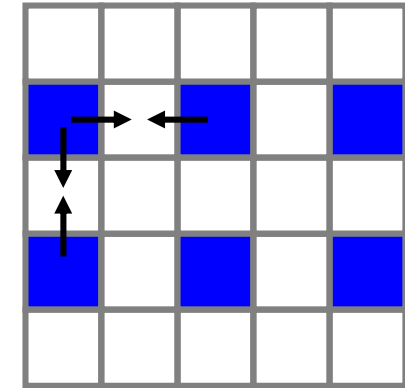
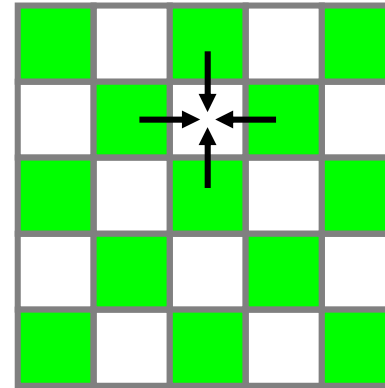
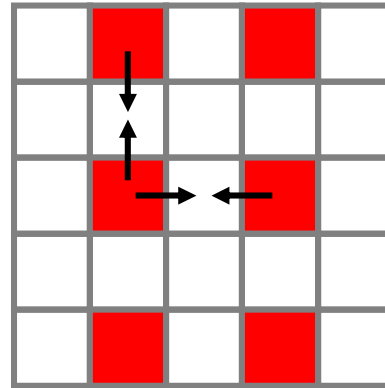
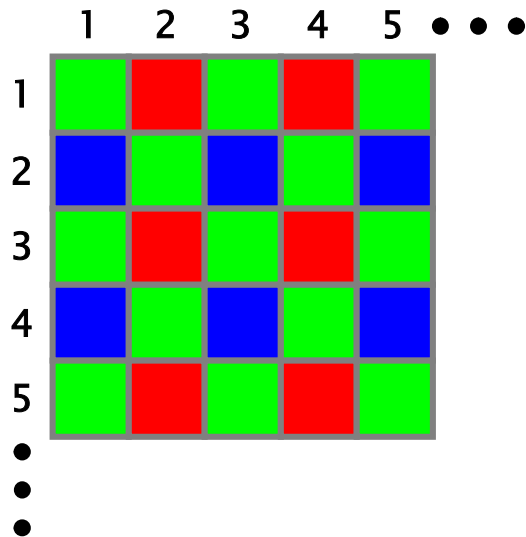


# IMAGES NUMÉRIQUES DÉLIVRÉES PAR LES CAMÉRAS

mosaïque Bayer



pixels R, G, B : valeurs = 0 ... 255 (ex. 8 bits)



algorithme de démosaïquage:

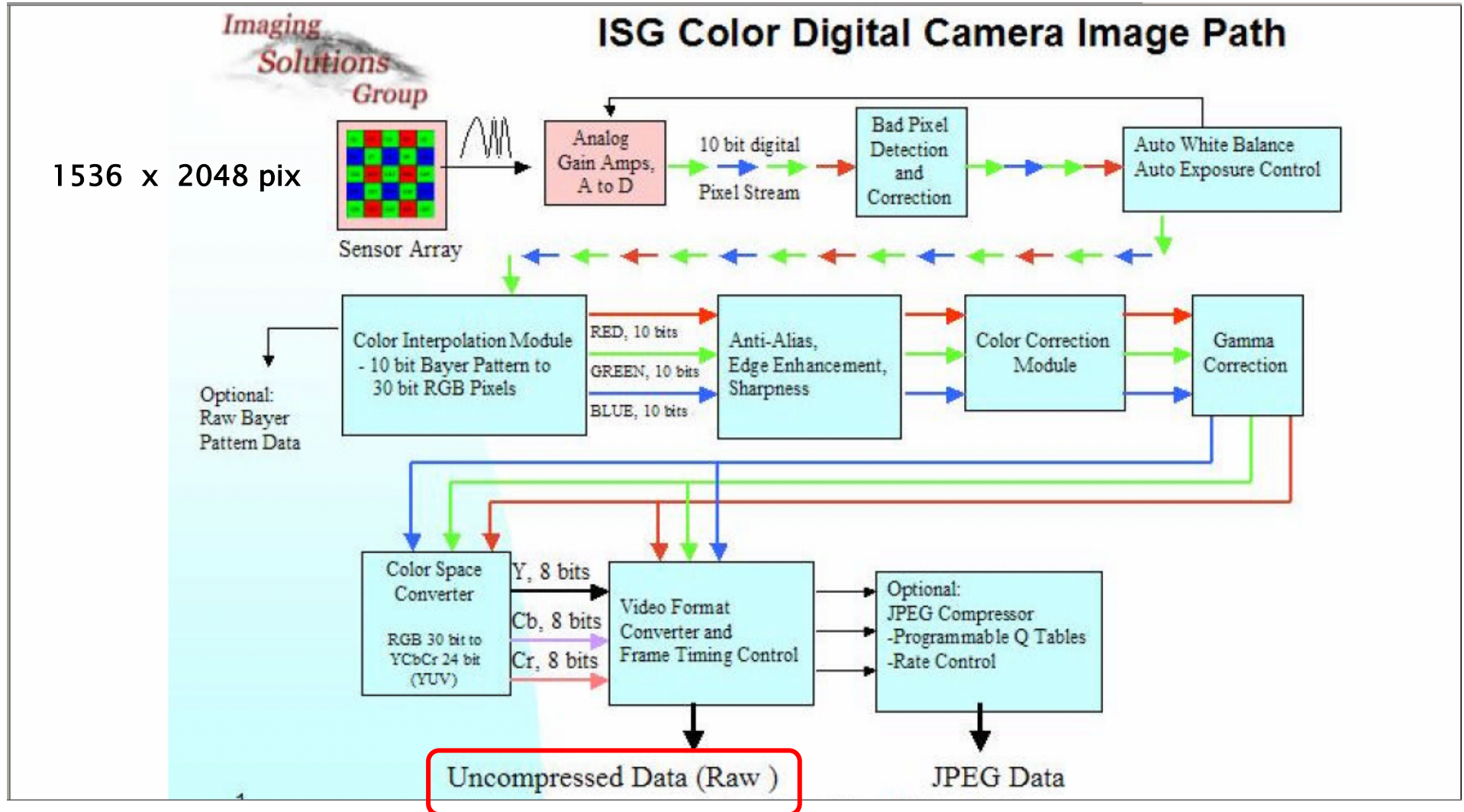
- interpolation bilinéaire entre voisins: rapide mais peu satisfaisant
- traitement complémentaire (en général linéaire) basé sur les variations locales de R, G, B
- embarqué dans la caméra

## EXEMPLES DE DÉMOSAÏQUAGE



référence: HS Malvar & al., *High quality linear interpolation for demosaicing of Bayer-patterned color images*, Microsoft Research.

# EXEMPLE DE LA CAMÉRA UTILISÉE

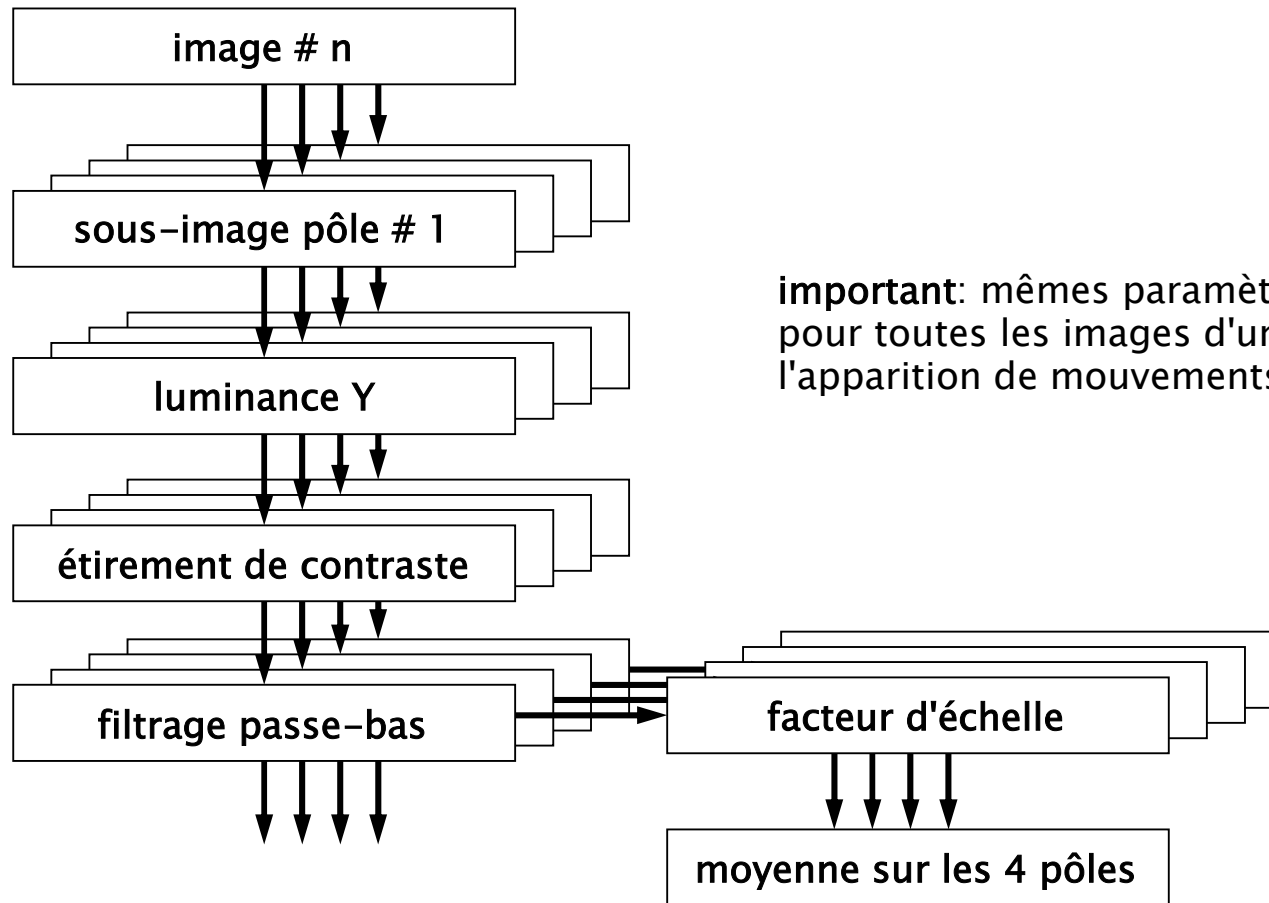


# ALGORITHMES DE DÉTECTION DE MOUVEMENT

- tous basés sur la luminance  $Y(i,j)$  – la chrominance ne portant pas a priori d'information particulière sur le mouvement

Algorithmes	Information délivrée	Propriétés
I – jacobien (gradient) de la luminance	translations en $\{X,Y\}$	<ul style="list-style-type: none"><li>• très sensible aux mouvements sub-pixel</li><li>• méthodes itératives complexes en cas de mouvements multi-pixel</li></ul>
II – inter-corrélation + localisation du pic par interpolation	translations en $\{X,Y\}$	<ul style="list-style-type: none"><li>• bonnes sensibilité et robustesse</li><li>• partition de l'image pour éliminer les fausses corrélations et estimer la précision</li></ul>
III – détection de bord (jacobien et hessien de la luminance) + reconnaissance de forme	translations en $\{X,Y\}$ et rotations	<ul style="list-style-type: none"><li>• très sensible aux mouvements sub- et multi-pixel</li><li>• reconnaissance de forme complexe si des défauts de surface survivent à la détection de bord</li></ul>

# PRE-PROCESSING

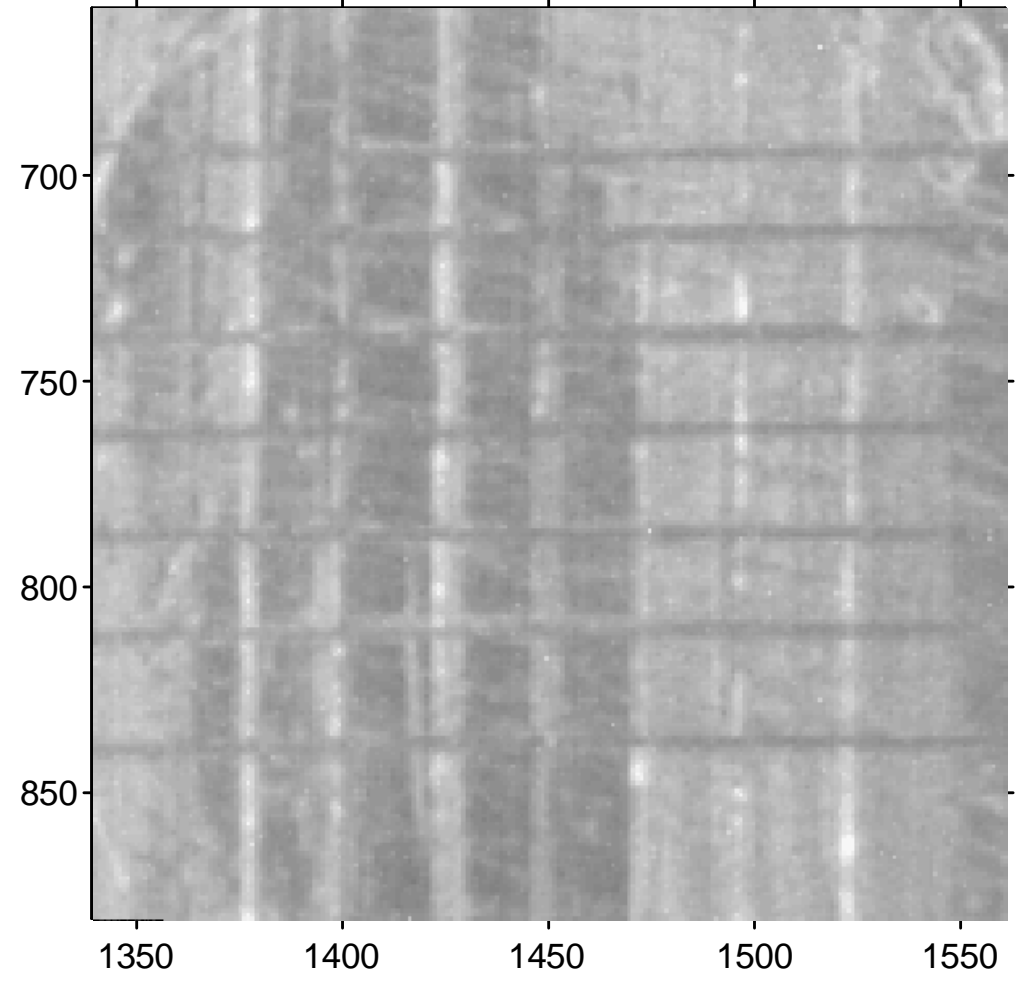
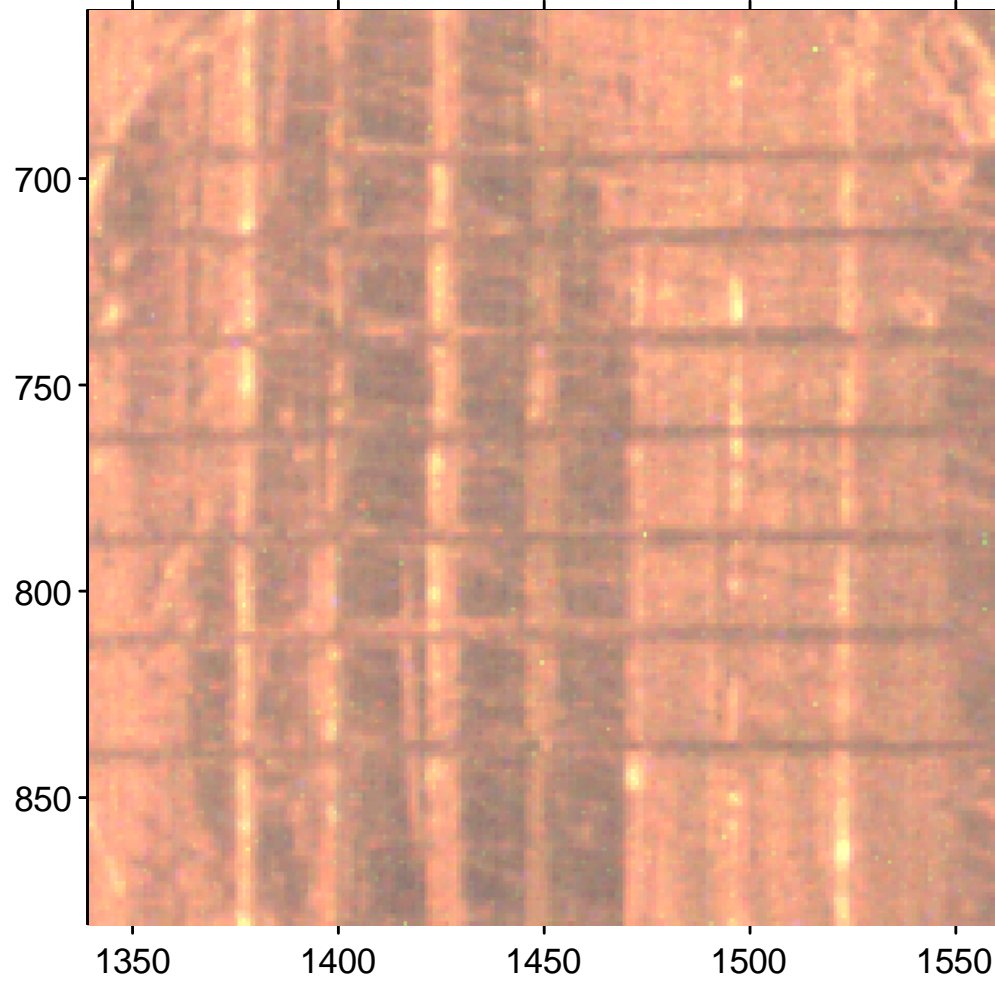


**important:** mêmes paramètres de traitement pour toutes les images d'une série pour éviter l'apparition de mouvements artificiels

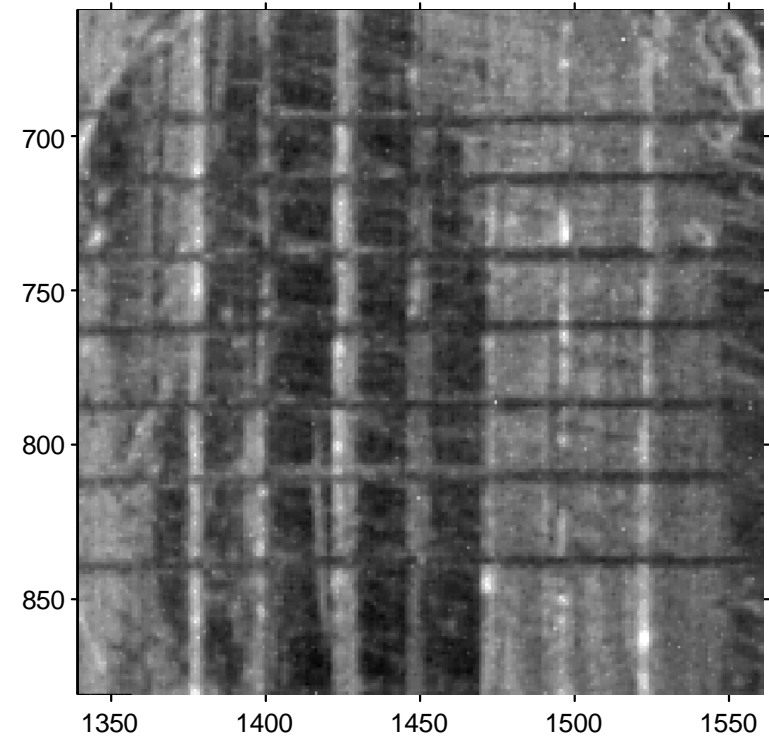
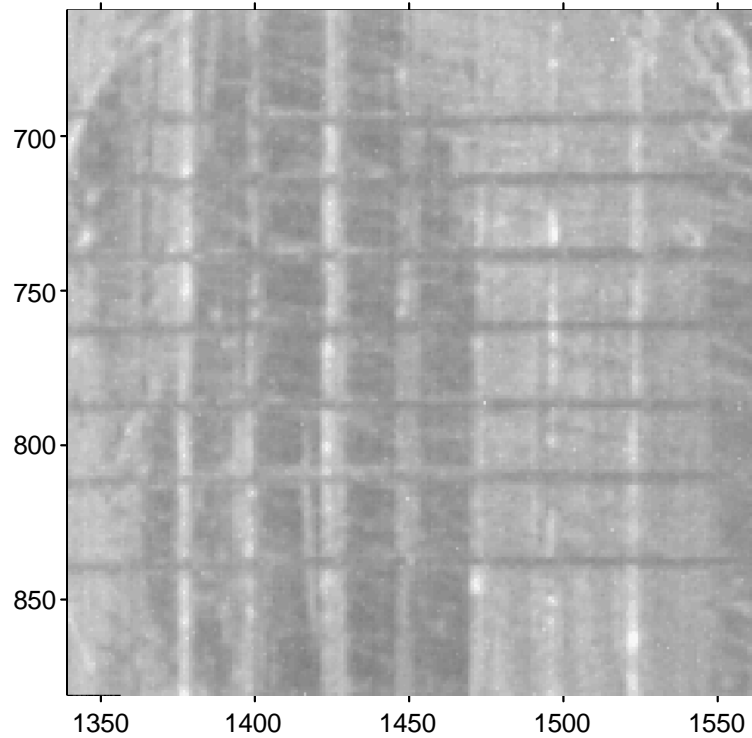
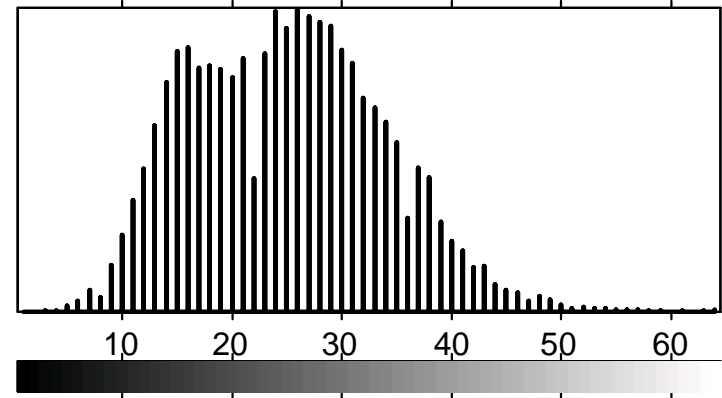
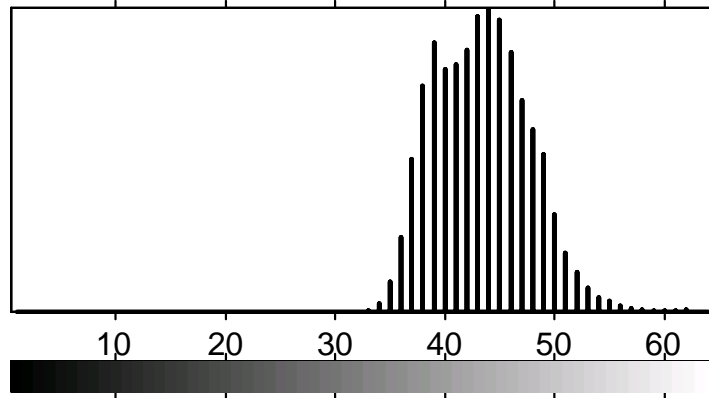
# CALCUL DE LA LUMINANCE

définition:  $Y = 0.30 R + 0.59 G + 0.11 B$

*gre2006\_05\_31\_15\_11*



# ÉTIREMENT DE CONTRASTE



# FILTRAGE LINÉAIRE

- fonction de transfert

$$B_{i,j} = \sum_{p=1}^P \sum_{q=1}^Q A_{i+p-1, j+q-1} \cdot F_{p,q}$$

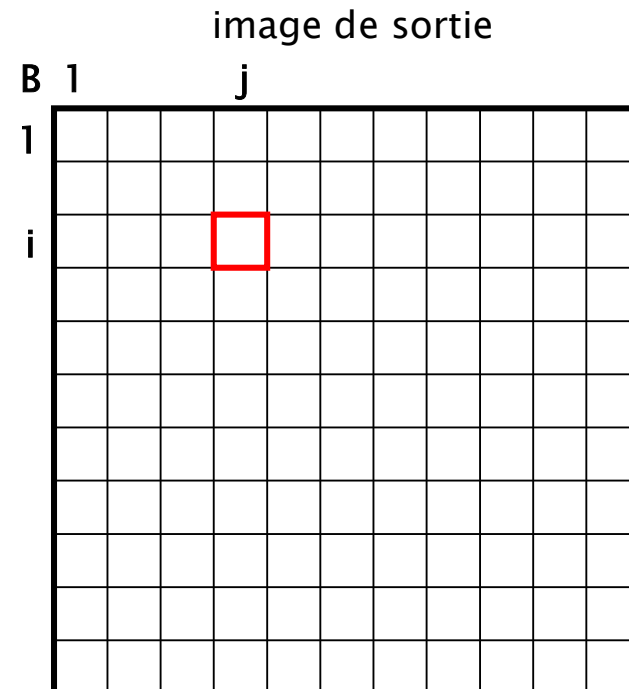
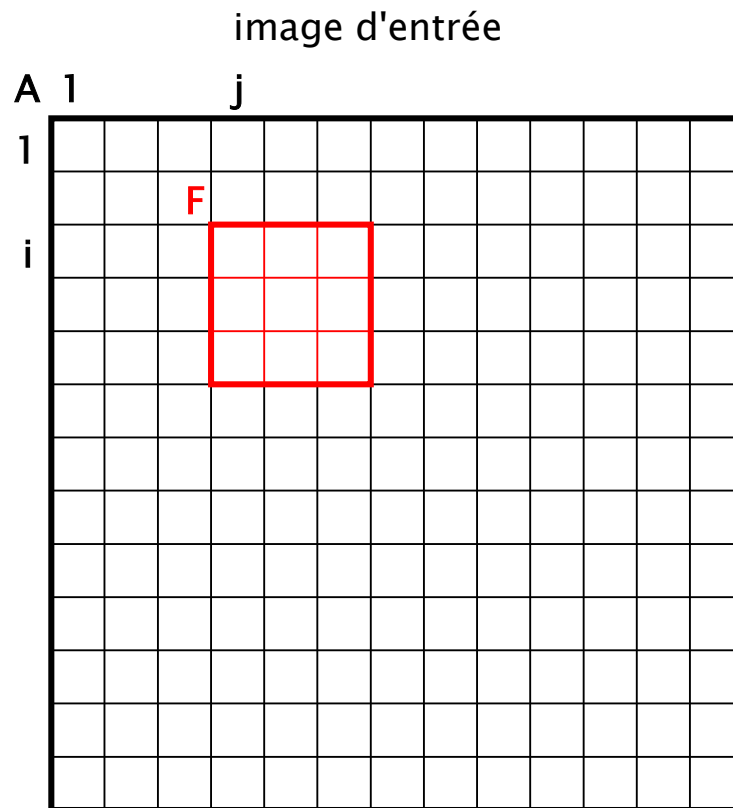
- coordonnées vert. et horiz.

$$I_B(i) = I_A(i) + P / 2$$

$$J_B(j) = J_A(j) + Q / 2$$

- normalisation

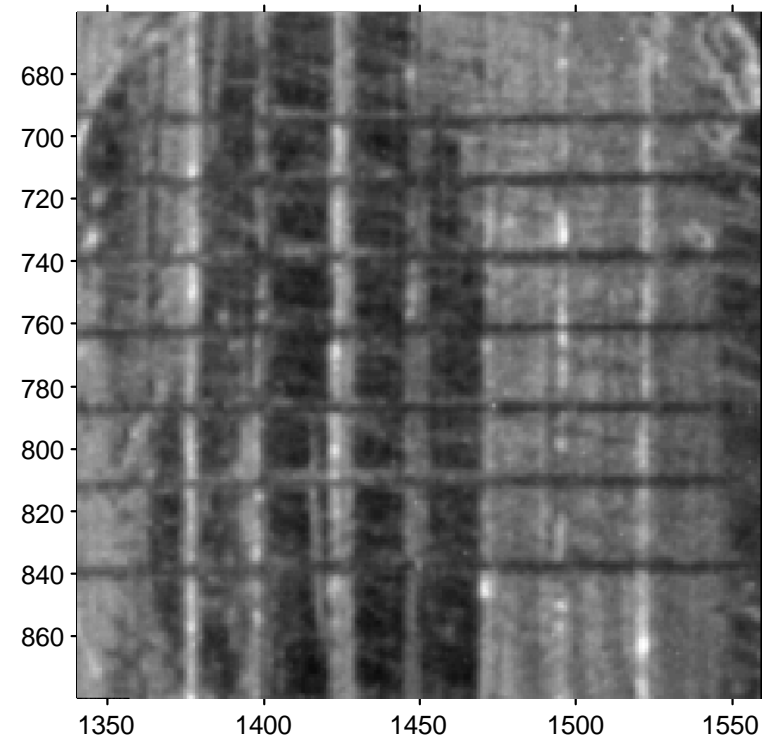
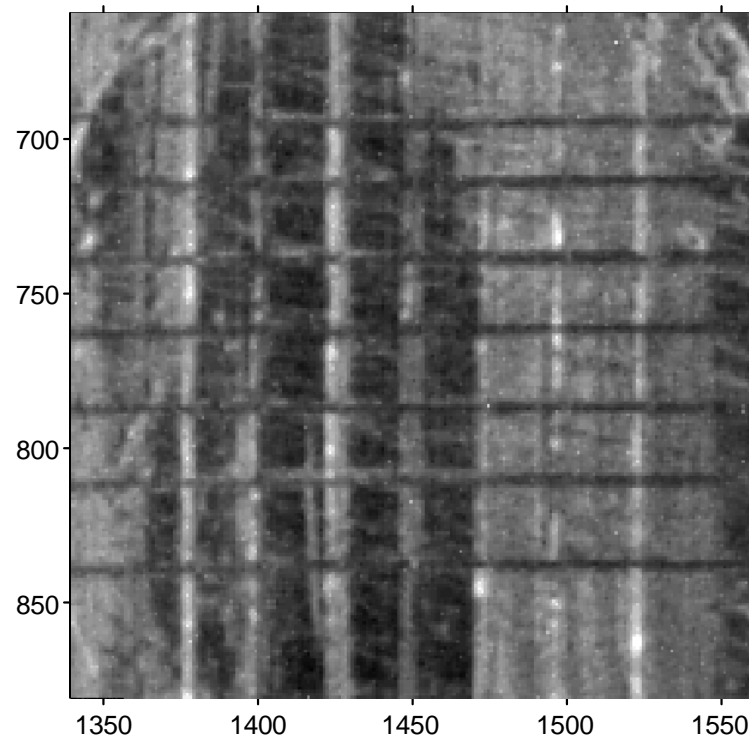
$$\sum_{p=1}^P F_{p,q} \leq 1$$



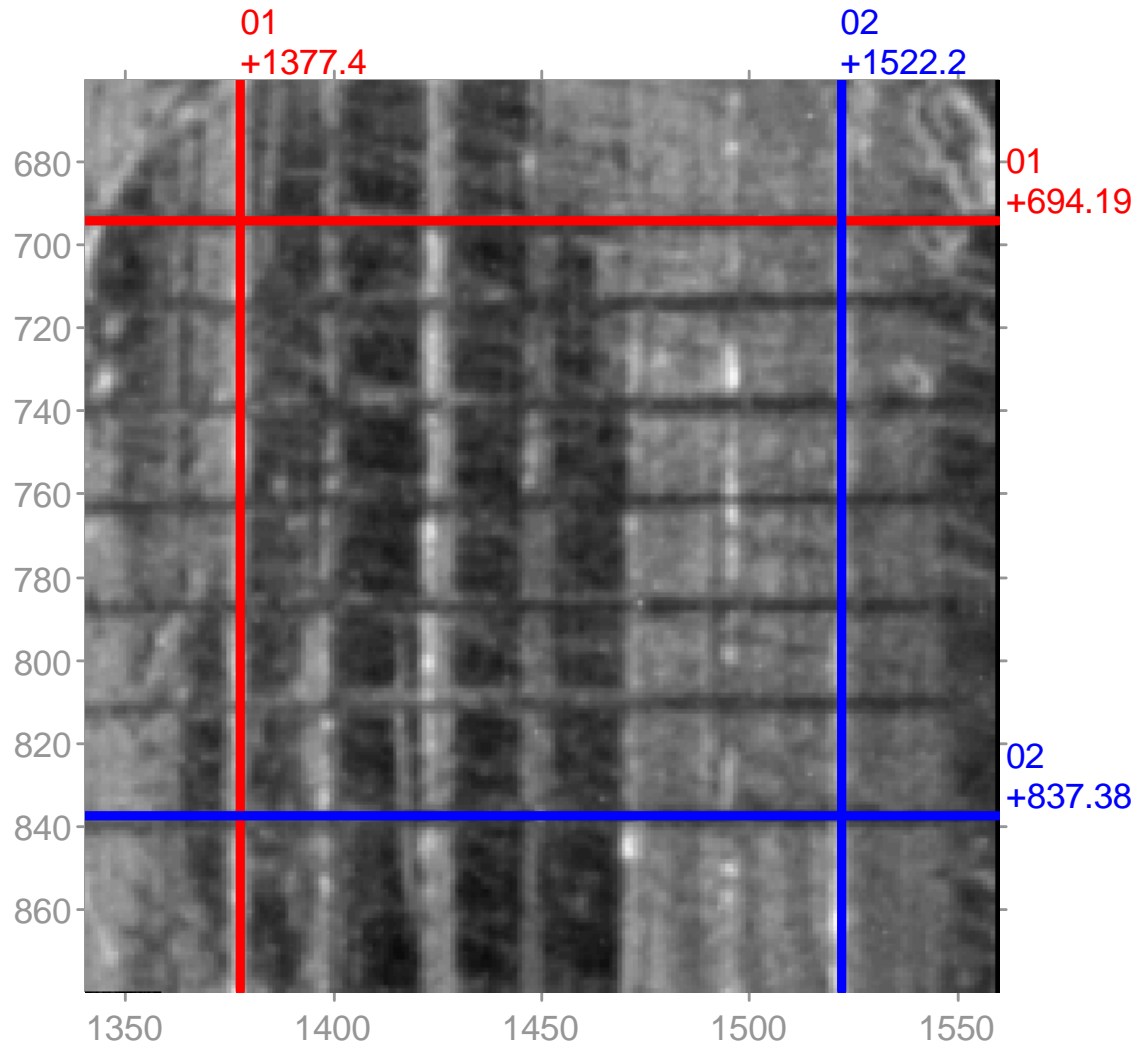
# FILTRE GAUSSIEN PASSE-BAS

$$\sigma_H = \sigma_V = 0.6 \text{ pix}$$

$$F = \begin{vmatrix} 0.02768 & 0.11101 & 0.02768 \\ 0.11101 & 0.44521 & 0.11101 \\ 0.02768 & 0.11101 & 0.02768 \end{vmatrix}$$



# FACTEUR D'ÉCHELLE



- grille 4 x 4 mm
  - dimensions de la grille en pixel  
W = 145 pix  
H = 143 pix
- 1 pix  $\equiv$   $27.8 \pm 0.2 \mu\text{m}$

# JACOBIEN ET HESSIEN DE LA LUMINANCE

- développement de Taylor de la luminance  $Y(x,y)$  à l'ordre  $(M,N)$ :

$$Y(x, y) = Y(0,0) + \sum_{j=0}^N \sum_{\substack{i=0 \\ i+j \neq 0}}^M \frac{1}{j!} \frac{1}{i!} Y_{x^j y^i} x^j y^i \quad (1)$$

- jacobien  $J$  et hessien  $H$  :  $Y(x, y) = Y(0,0) + J^t \begin{vmatrix} x \\ y \end{vmatrix} + \begin{vmatrix} x & y \end{vmatrix} H \begin{vmatrix} x \\ y \end{vmatrix} + \dots$

$$J = \begin{vmatrix} Y_x \\ Y_y \end{vmatrix} \quad H = \begin{vmatrix} Y_{xx} & Y_{xy} \\ Y_{xy} & Y_{yy} \end{vmatrix}$$

- estimation par un filtre linéaire de masque  $2P+1 \times 2Q+1$  : l'équation (1) sur le masque donne  $(2P+1)(2Q+1)-1$  équations, que l'on résout au sens des moindres carrés

## EXEMPLES DE MASQUES

- masque 3 x 3 ; ordre (2,2)

$$F_x = \frac{1}{6} \begin{vmatrix} -1 & 0 & +1 \\ -1 & 0 & +1 \\ -1 & 0 & +1 \end{vmatrix}$$

$$F_{xy} = \frac{1}{4} \begin{vmatrix} +1 & 0 & -1 \\ 0 & 0 & 0 \\ -1 & 0 & +1 \end{vmatrix}$$

$$F_{xx} = \frac{1}{5} \begin{vmatrix} +1 & -2 & +1 \\ +3 & -6 & +3 \\ +1 & -2 & +1 \end{vmatrix}$$

- masque 5 x 5 ; ordre (2,2)

$$F_x = \frac{1}{50} \begin{vmatrix} -2 & -1 & 0 & +1 & +2 \\ -2 & -1 & 0 & +1 & +2 \\ -2 & -1 & 0 & +1 & +2 \\ -2 & -1 & 0 & +1 & +2 \\ -2 & -1 & 0 & +1 & +2 \end{vmatrix}$$

$$F_{xy} = \frac{1}{100} \begin{vmatrix} +4 & +2 & 0 & -2 & -4 \\ +2 & +1 & 0 & -1 & -2 \\ 0 & 0 & 0 & 0 & 0 \\ -2 & -1 & 0 & +1 & +2 \\ -4 & -2 & 0 & +2 & +4 \end{vmatrix}$$

$$F_{xx} = \frac{1}{945} \begin{vmatrix} +28 & -23 & -40 & -23 & +28 \\ +58 & +7 & -10 & +7 & +58 \\ +68 & +17 & -350 & +17 & +68 \\ +58 & +7 & -10 & +7 & +58 \\ +28 & -23 & -40 & -23 & +28 \end{vmatrix}$$

- masque 5 x 5 ; ordre (3,3)

$$F_x = \frac{1}{420} \begin{vmatrix} +31 & -44 & 0 & +44 & +31 \\ -5 & -62 & 0 & +62 & +5 \\ -17 & -68 & 0 & +68 & +17 \\ -5 & -62 & 0 & +62 & +5 \\ +31 & -44 & 0 & +44 & +31 \end{vmatrix}$$

$$F_{xy} = \frac{1}{100} \begin{vmatrix} +4 & +2 & 0 & -2 & -4 \\ +2 & +1 & 0 & -1 & -2 \\ 0 & 0 & 0 & 0 & 0 \\ -2 & -1 & 0 & +1 & +2 \\ -4 & -2 & 0 & +2 & +4 \end{vmatrix}$$

$$F_{xx} = \frac{1}{945} \begin{vmatrix} +28 & -23 & -40 & -23 & +28 \\ +58 & +7 & -10 & +7 & +58 \\ +68 & +17 & -350 & +17 & +68 \\ +58 & +7 & -10 & +7 & +58 \\ +28 & -23 & -40 & -23 & +28 \end{vmatrix}$$

$$F_{xxx} = \frac{1}{10} \begin{vmatrix} -1 & +2 & 0 & -2 & +1 \\ -1 & +2 & 0 & -2 & +1 \\ -1 & +2 & 0 & -2 & +1 \\ -1 & +2 & 0 & -2 & +1 \\ -1 & +2 & 0 & -2 & +1 \end{vmatrix}$$

$$F_{xxy} = \frac{1}{70} \begin{vmatrix} -4 & +2 & +4 & +2 & -4 \\ -2 & +1 & +2 & +1 & -2 \\ 0 & 0 & 0 & 0 & 0 \\ +2 & -1 & -2 & -1 & +2 \\ +4 & -2 & -4 & -2 & +4 \end{vmatrix}$$

# ALGORITHME I – PRINCIPE DE LA DÉTECTION DE MOUVEMENT

- développement au premier ordre de la luminance  $Y(x,y)$  :

$$Y(j + u, i + v) = Y(j, i) + J^t \begin{vmatrix} u \\ v \end{vmatrix} \quad J = \begin{vmatrix} \partial Y(j, i) / \partial x \\ \partial Y(j, i) / \partial y \end{vmatrix}$$

- mouvement  $\{u,v\}$  de l'image #n par rapport à l'image #1:

$$Y^n(x, y) = Y^1(x - u, y - v)$$

- estimation du mouvement sur un groupe de pixels  $[J_1, J_2] \times [I_1, I_2]$  :

$$Y^n(j, i) = Y^1(j, i) - J_x^1(j, i) \cdot u - J_y^1(j, i) \cdot v, \quad I_1 \leq i \leq I_2, \quad J_1 \leq j \leq J_2,$$

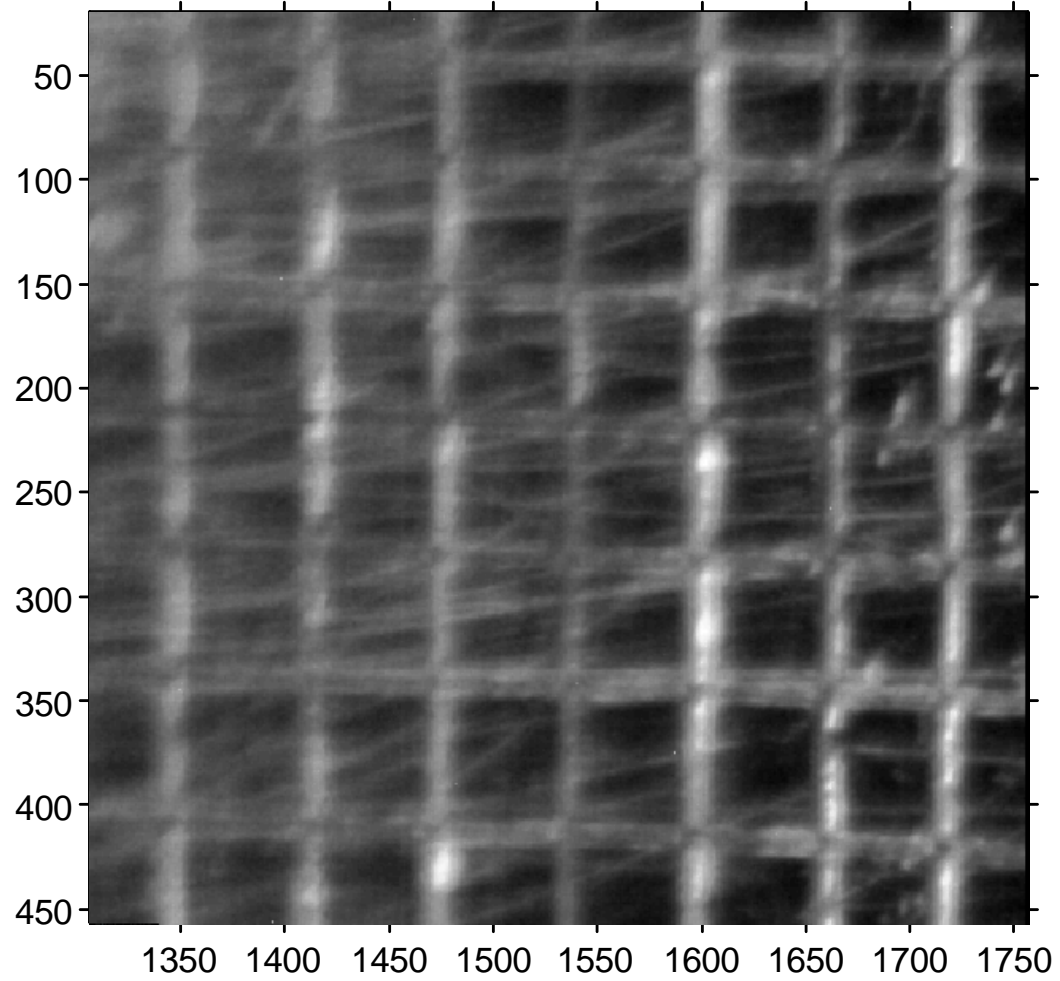
que l'on résout au sens des moindres carrés.

- sélection des pixels –  $J_{\min}$  élimine les zones où  $Y$  ne varie pas et  $J_{\max}$  élimine les pixels de bruit isolés :

$$J_{\min} \leq \|J^1\| \leq J_{\max}$$

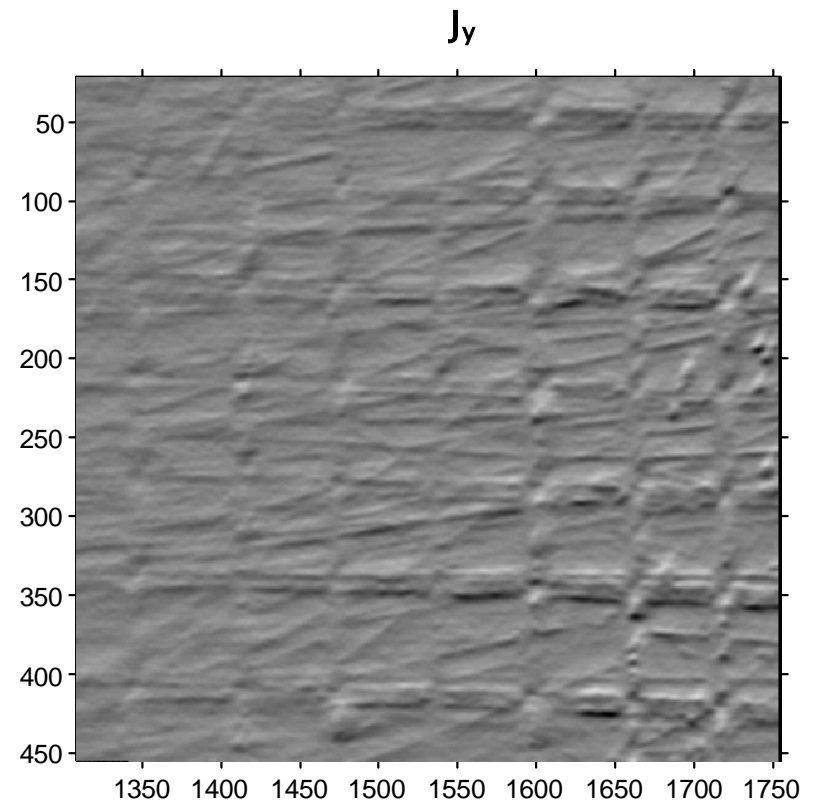
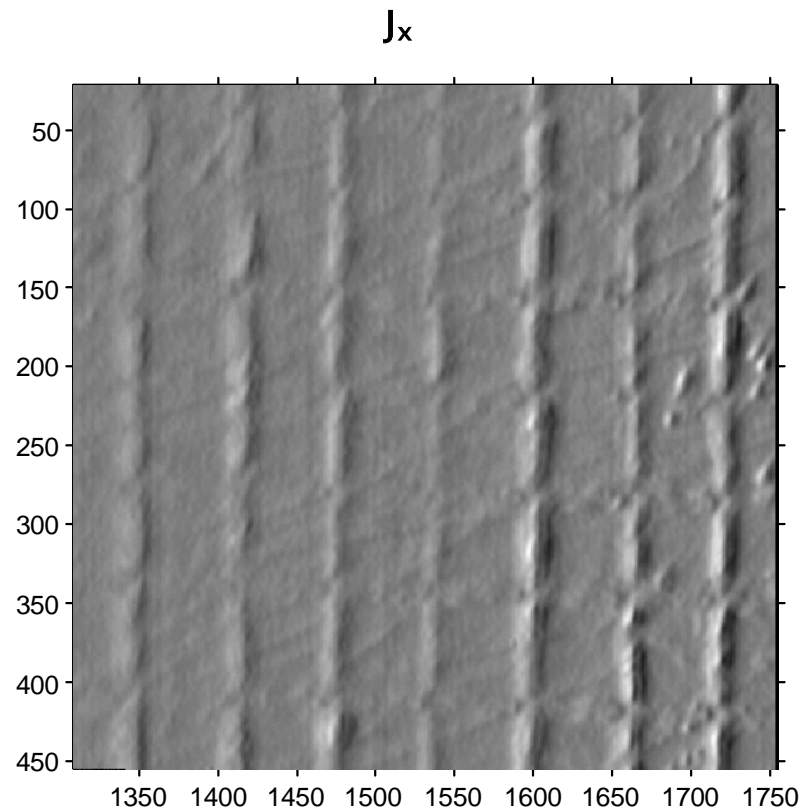
# ALGORITHME I – EXEMPLE

*sac2005\_08\_24\_09\_07*



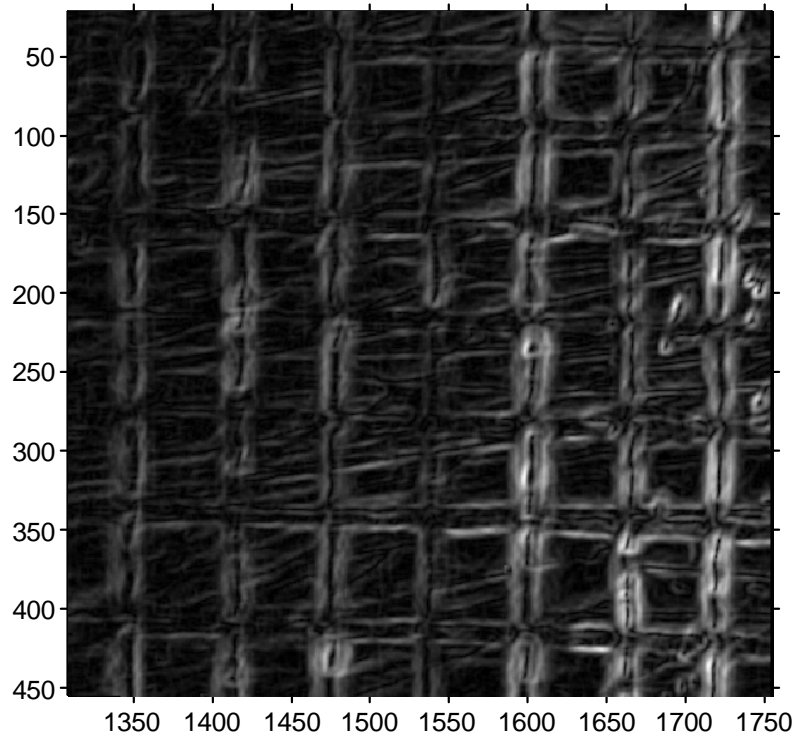
# ALGORITHME I – COMPOSANTES DU JACOBIEN

masque 5 x 5 ; ordre (2,2)

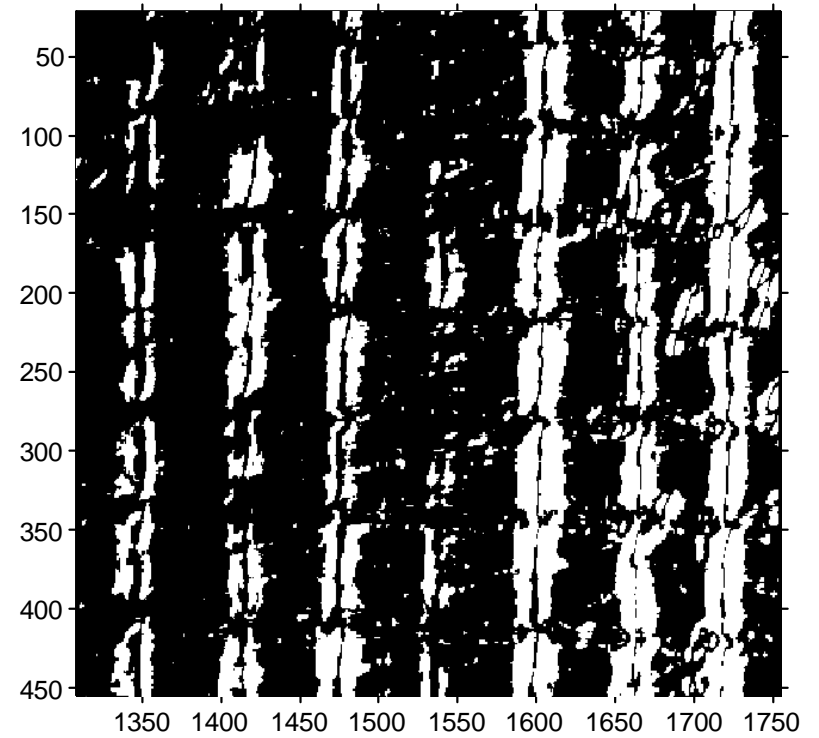


# ALGORITHME I – SÉLECTION DES PIXELS

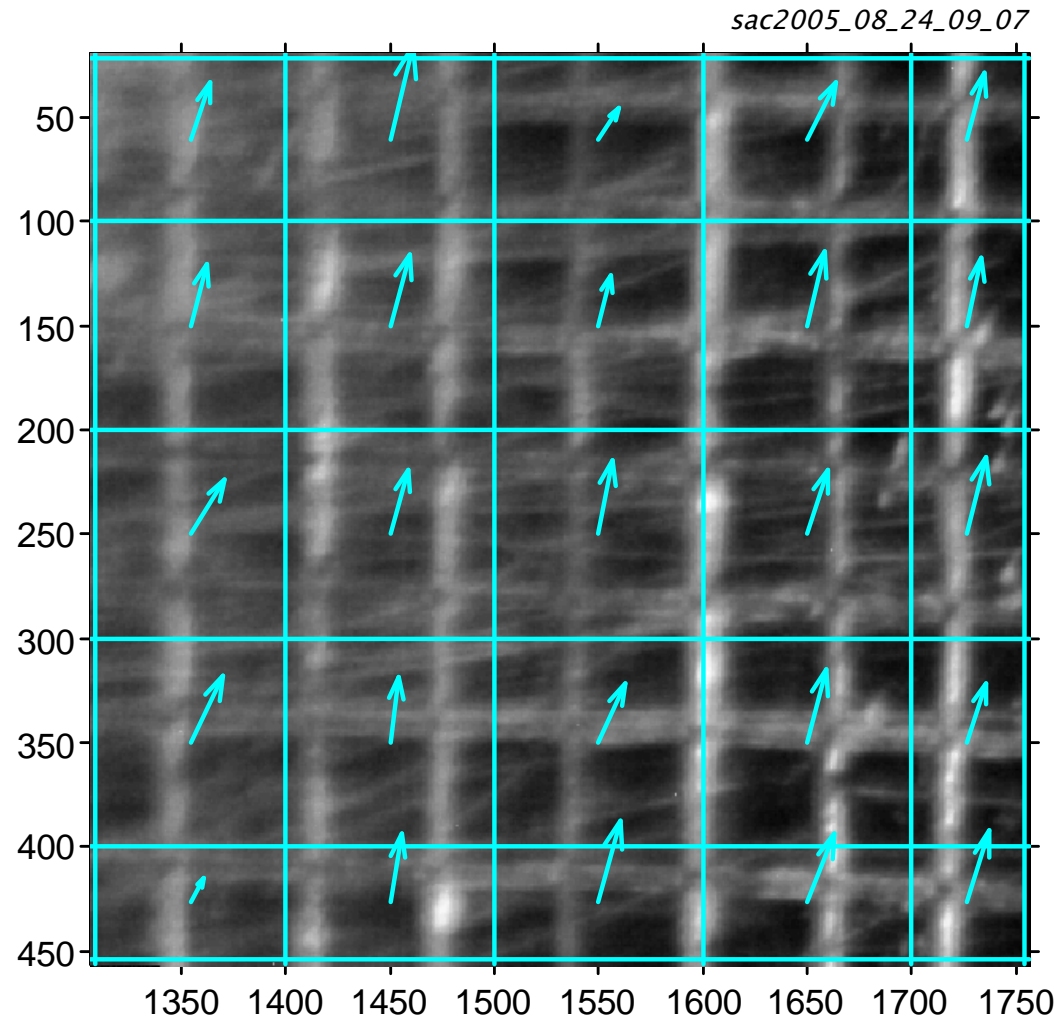
$||J||$



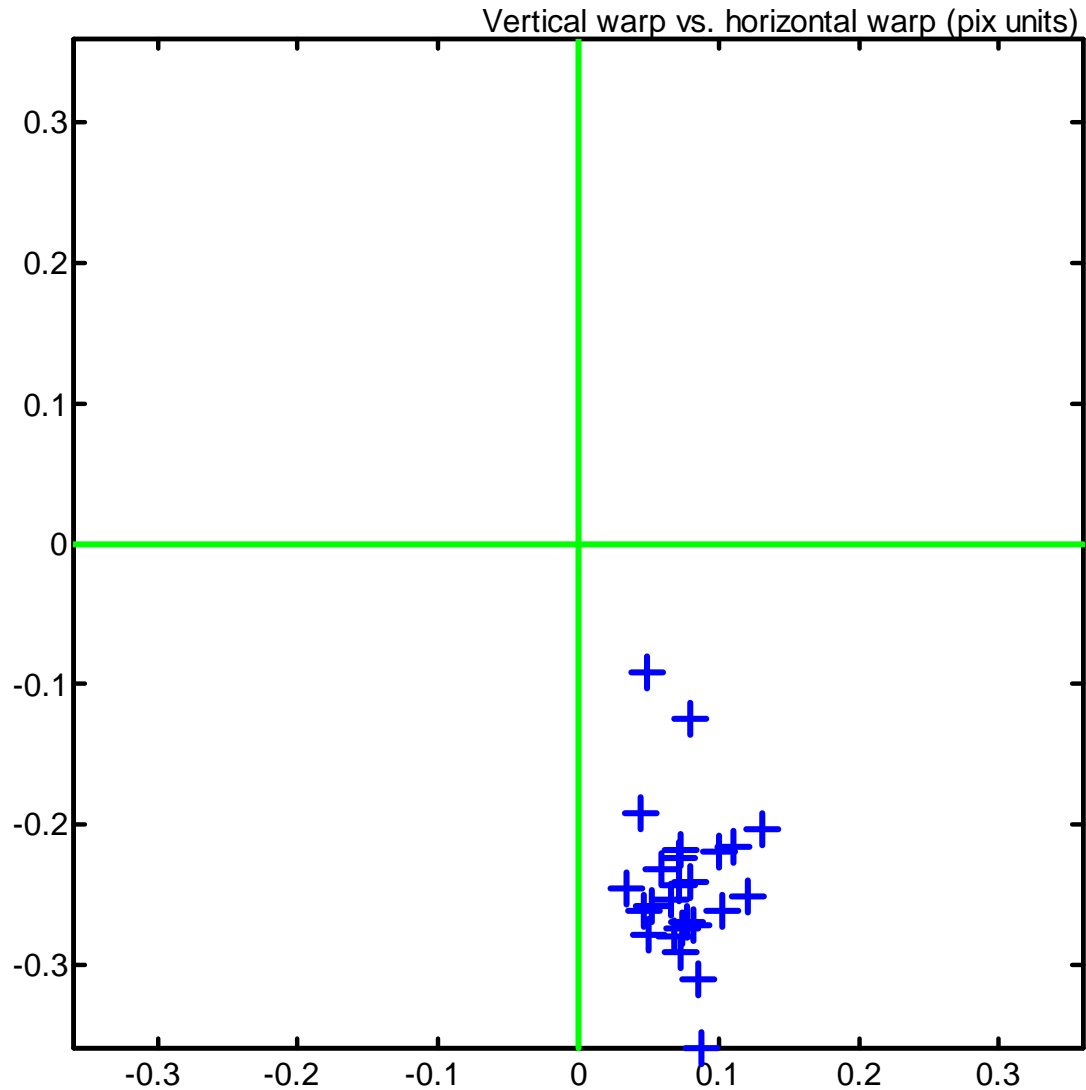
$0.02 \leq ||J||$



# ALGORITHME I – CHAMP DE DÉPLACEMENT



# ALGORITHME I – STATISTIQUES

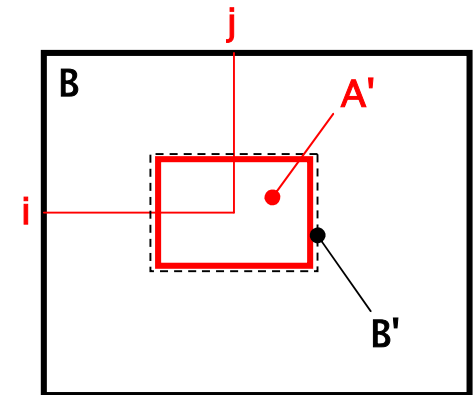


- mouvement moyen estimé (pix)  
 $\langle u \rangle = +0.0757$   
 $\langle v \rangle = -0.2427$
- écart-types de la partition 5 x 5  
 $\sigma(u) = 0.024$   
 $\sigma(v) = 0.054$
- écarts-types de l'estimation (pix)  
 $\sigma(\langle u \rangle) = 0.0048$   
 $\sigma(\langle v \rangle) = 0.0188$

## ALGORITHME II – LE CORRÉLATEUR

- on cherche dans une "grande" image A, la ou les zones ressemblant "le plus" à une image de référence B
- idée: utiliser les propriétés du produit scalaire dans  $\mathbb{R}^n$  :  
 $\|a\| = 1, \|b\| = 1 \rightarrow -1 \leq a^t b \leq +1$ , et :  $a^t b = 1$  ssi  $a = b$ .
- soit B la "grande" image, et A l'image de référence de dimension  $(2P+1)(2Q+1)$ ; le coefficient d'inter-corrélation de A et B est défini par :

$$\chi_{i,j} = \sum_{p=-P}^{p=+P} \sum_{q=-Q}^{q=+Q} A'_{p,q} B'_{i+p,j+q}$$



où A' et B' sont normées (norme euclidienne dans  $\mathbb{R}^n$ ) et à moyenne nulle:

$$\langle A \rangle = \frac{1}{(2P+1)(2Q+1)} \sum_{p=-P}^{p=+P} \sum_{q=-Q}^{q=+Q} A_{p,q}$$

$$A' = \frac{A - \langle A \rangle}{\|A - \langle A \rangle\|_2}$$

$$\langle B \rangle_{i,j} = \frac{1}{(2P+1)(2Q+1)} \sum_{p=-P}^{p=+P} \sum_{q=-Q}^{q=+Q} B_{i+p,j+q}$$

$$B'_{i+p,j+q} = \frac{B_{i+p,j+q} - \langle B \rangle_{i,j}}{\sqrt{\sum_{m=-P}^{m=+P} \sum_{n=-Q}^{n=+Q} (B_{i+m,j+n} - \langle B \rangle_{i,j})^2}}$$

## ALGORITHME II – L'INTERPOLATEUR

- **idée:** développer  $\chi$  au voisinage du pic de corrélation localisé en  $\{u,v\}$  :

$$\chi(x, y) = a(x - u)^2 + b(y - v)^2 + c(x - u)(y - v) + d$$

- **calcul de a, b, c, d, u, v:** le développement de  $\chi$  en fonction de  $\{x,y\}$  est:

$$\chi(x, y) = g_1x^2 + g_2y^2 + g_3xy + g_4x + g_5y + g_6$$

on utilise les sorties du corrélateur  $\chi(j,i)$  dans un domaine  $[J_1, J_2] \times [I_1, I_2]$  pour estimer les  $g_n$  au sens des moindres carrés. À partir des  $g_n$  on obtient:

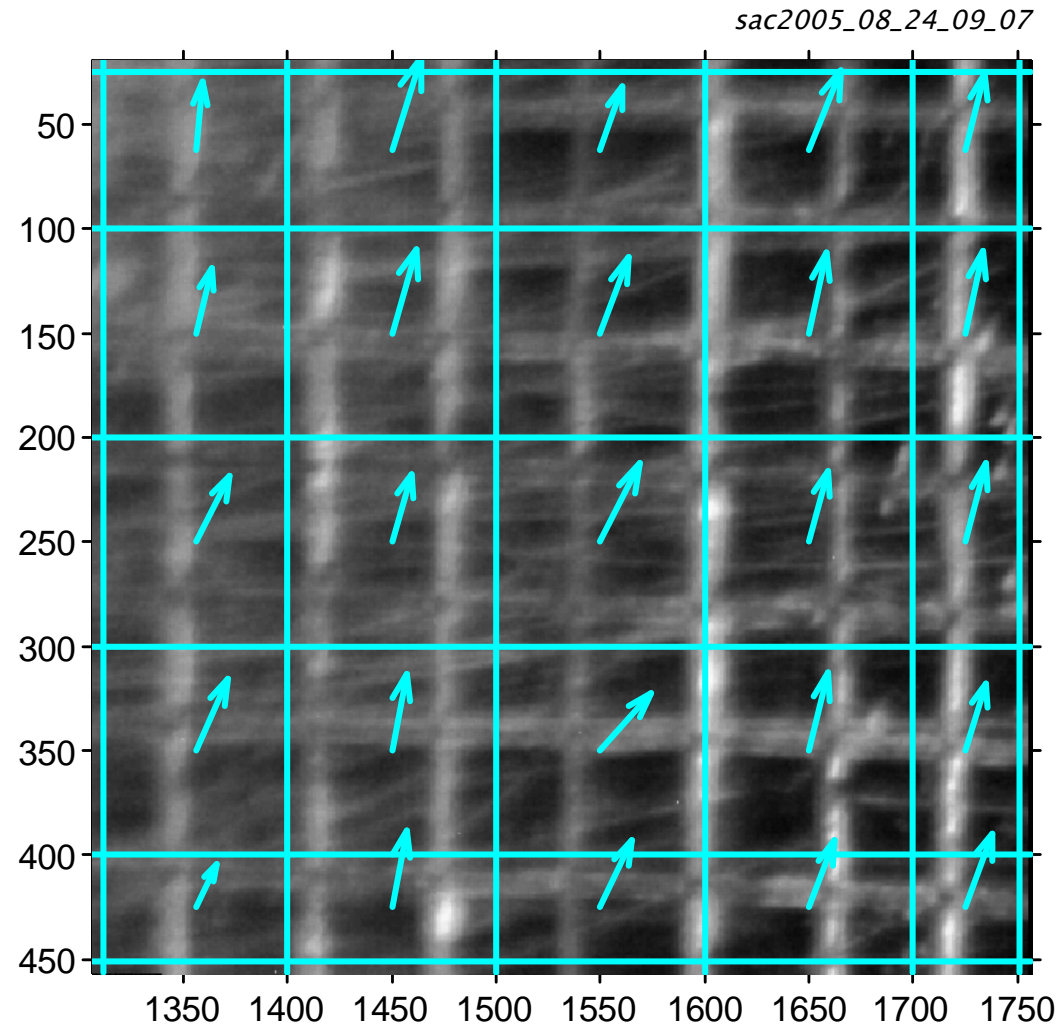
$$a = g_1; \quad b = g_2; \quad c = g_3; \quad \begin{vmatrix} -a & -c \\ -c & -b \end{vmatrix} \begin{vmatrix} u \\ v \end{vmatrix} = \begin{vmatrix} g_4 \\ g_5 \end{vmatrix}; \quad d = -\frac{1}{2} g_4 u - \frac{1}{2} g_5 v - g_6$$

- **élimination des faux extrema :** le hessien de  $\chi$  est :  $H = \begin{vmatrix} g_1 & \frac{1}{2} g_3 \\ \frac{1}{2} g_3 & g_2 \end{vmatrix}$

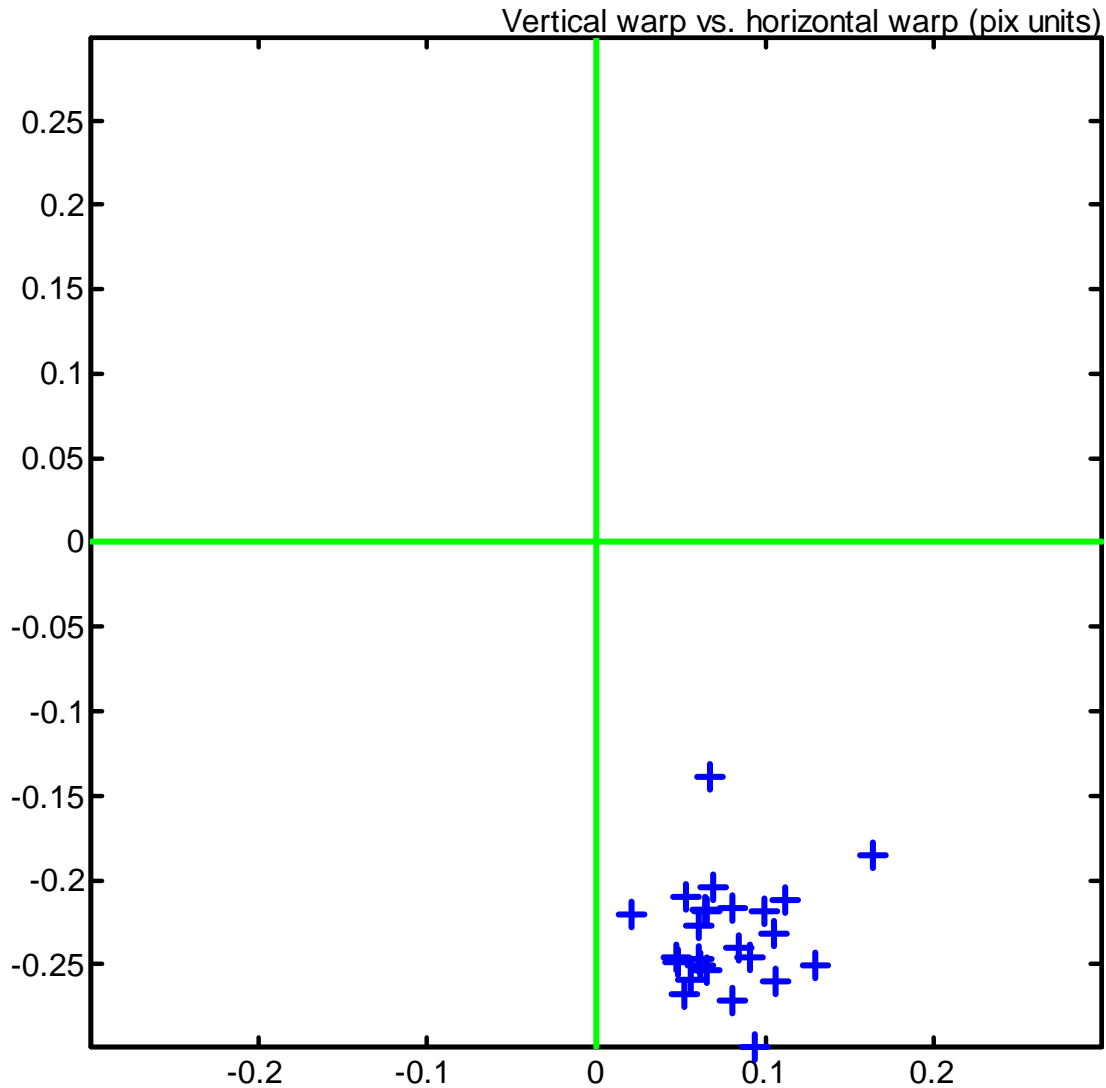
ses valeurs propres  $\lambda_1$  et  $\lambda_2$  sont solution de :  $\lambda^2 - (g_1 + g_2)\lambda + g_1g_2 - \frac{1}{4} g_3^2$

et les extrema ne satisfaisant pas  $\lambda_1 < 0$  et  $\lambda_2 < 0$  sont éliminés.

# ALGORITHME II – CHAMP DE DÉPLACEMENT



# ALGORITHME II – STATISTIQUES



- mouvement moyen estimé (pix)

$$\langle u \rangle = +0.07775$$

$$\langle v \rangle = -0.2337$$

- écart-types de la partition 5 x 5

$$\sigma(u) = 0.0303$$

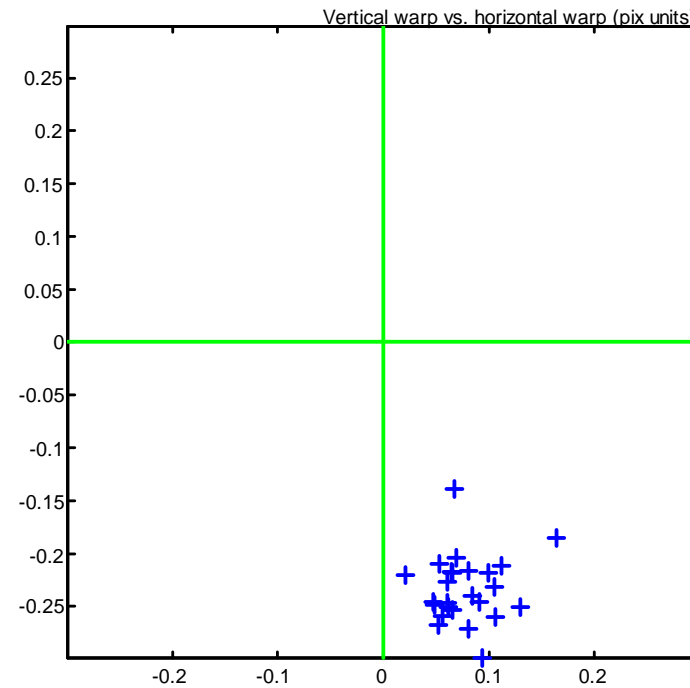
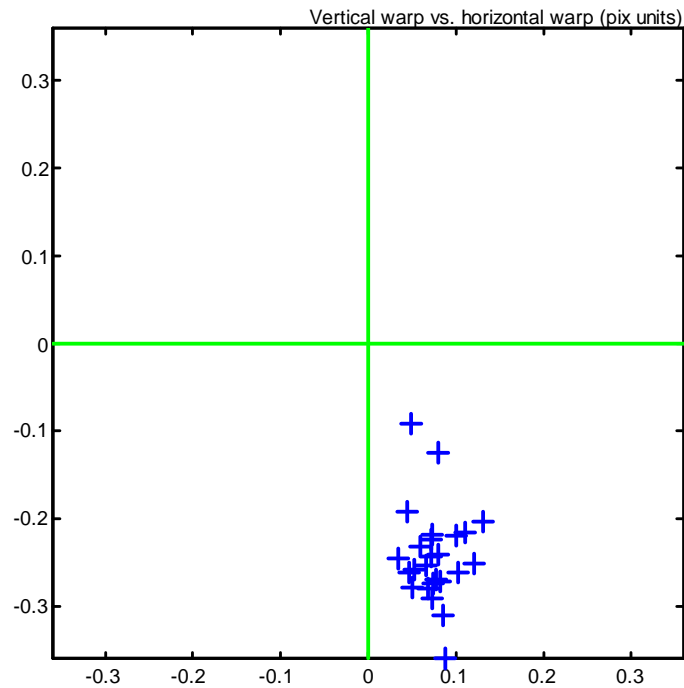
$$\sigma(v) = 0.0319$$

- écarts-types de l'estimation (pix)

$$\sigma(\langle u \rangle) = 0.0061$$

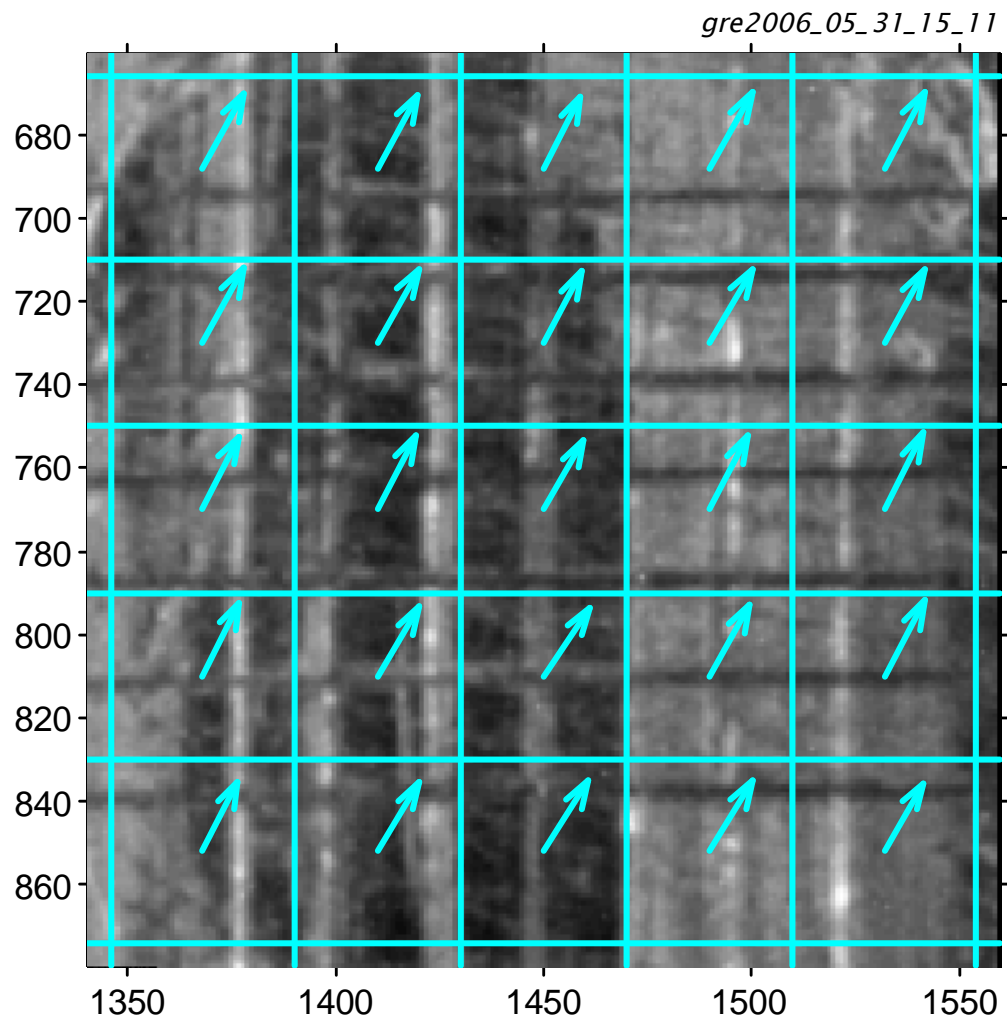
$$\sigma(\langle v \rangle) = 0.0064$$

# COMPARAISON DES ALGORITHMES I ET II

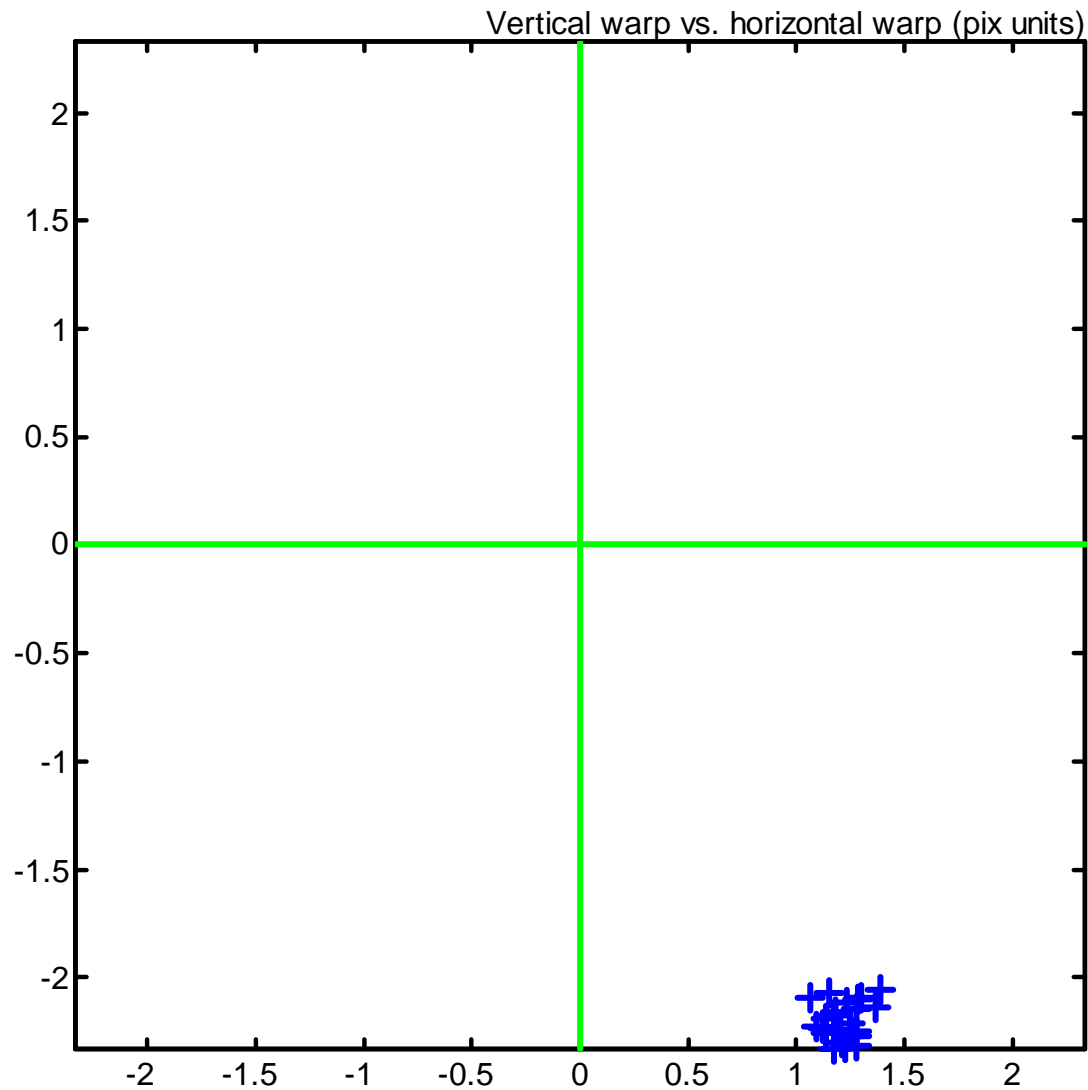


	(I)	(II)
$\langle u \rangle$	+0.0757	+0.07775
$\langle v \rangle$	-0.2427	-0.2337
$\sigma(u)$	0.024	0.0303
$\sigma(v)$	0.054	0.0319

## ALGORITHME II – EXEMPLE DE MOUVEMENT MULTI-PIXEL



# ALGORITHME II – MOUVEMENT MULTI-PIXEL; STATISTIQUES



- mouvement moyen estimé (pix)  
 $\langle u \rangle = +1.2206$   
 $\langle v \rangle = -2.2027$
- écart-types de la partition 5 x 5  
 $\sigma(u) = 0.0795$   
 $\sigma(v) = 0.0829$
- écarts-types de l'estimation (pix)  
 $\sigma(\langle u \rangle) = 0.016$   
 $\sigma(\langle v \rangle) = 0.017$

# ALGORITHME III – GÉOMÉTRIE DIFFÉRENTIELLE

- **idée**: représenter la fonction de luminance par un difféomorphisme de  $\Omega \subset \mathbb{R}^2$  dans  $\mathbb{R}^3$ , et étudier les propriétés locales de la surface:

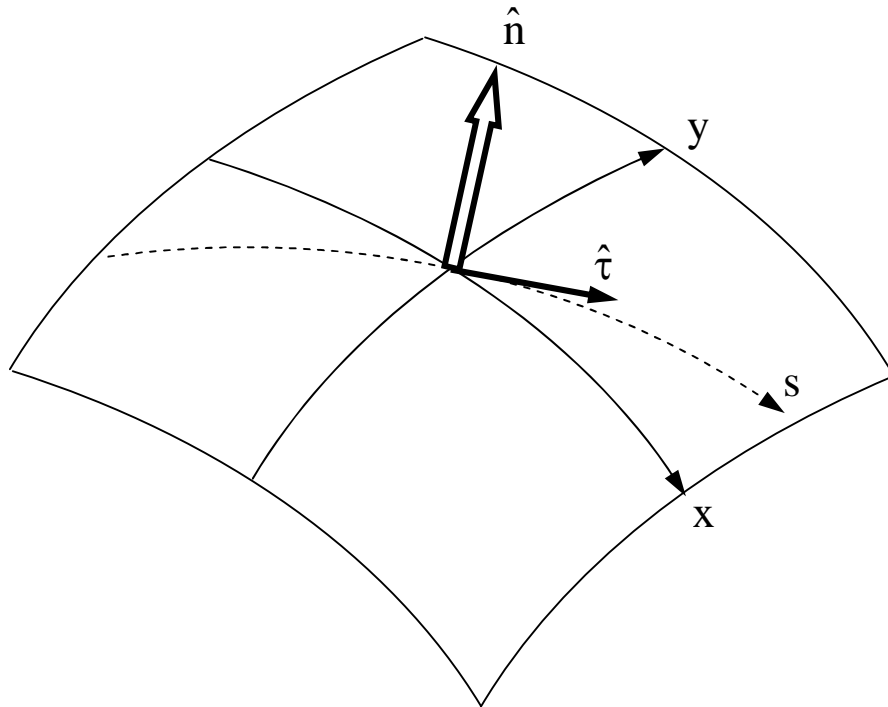
$$\{x, y\} \rightarrow a(x, y) := \begin{pmatrix} x \\ y \\ Y(x, y) \end{pmatrix}$$

- un extrémum local est atteint lorsque le jacobien  $J$  de  $Y$  est nul. La nature de l'extrémum est décrit par les valeurs propres  $\lambda_1, \lambda_2$  du hessien  $H$  de  $Y$ :

$$J = \begin{pmatrix} Y_x \\ Y_y \end{pmatrix} \quad H = \begin{pmatrix} Y_{xx} & Y_{xy} \\ Y_{xy} & Y_{yy} \end{pmatrix} \quad \lambda^2 - \text{tr}(H)\lambda + \det(H) = 0 \quad |\lambda_1| \geq |\lambda_2|$$

minimum local strict	$\lambda_1 > 0$	$\lambda_2 > 0$	$\det(H) > 0$	$\text{tr}(H) > 0$
vallée locale	$\lambda_1 > 0$	$\lambda_2 = 0$	$\det(H) = 0$	$\text{tr}(H) > 0$
maximum local strict	$\lambda_1 < 0$	$\lambda_2 < 0$	$\det(H) > 0$	$\text{tr}(H) < 0$
ridge local	$\lambda_1 < 0$	$\lambda_2 = 0$	$\det(H) = 0$	$\text{tr}(H) < 0$
point selle	$\lambda_1 > 0$	$\lambda_2 < 0$	$\det(H) < 0$	
	ou $\lambda_1 < 0$	$\lambda_2 > 0$		
plat local	$\lambda_1 = 0$	$\lambda_2 = 0$	$\det(H) = 0$	$\text{tr}(H) = 0$

## ALGORITHME III – COURBURES LOCALES

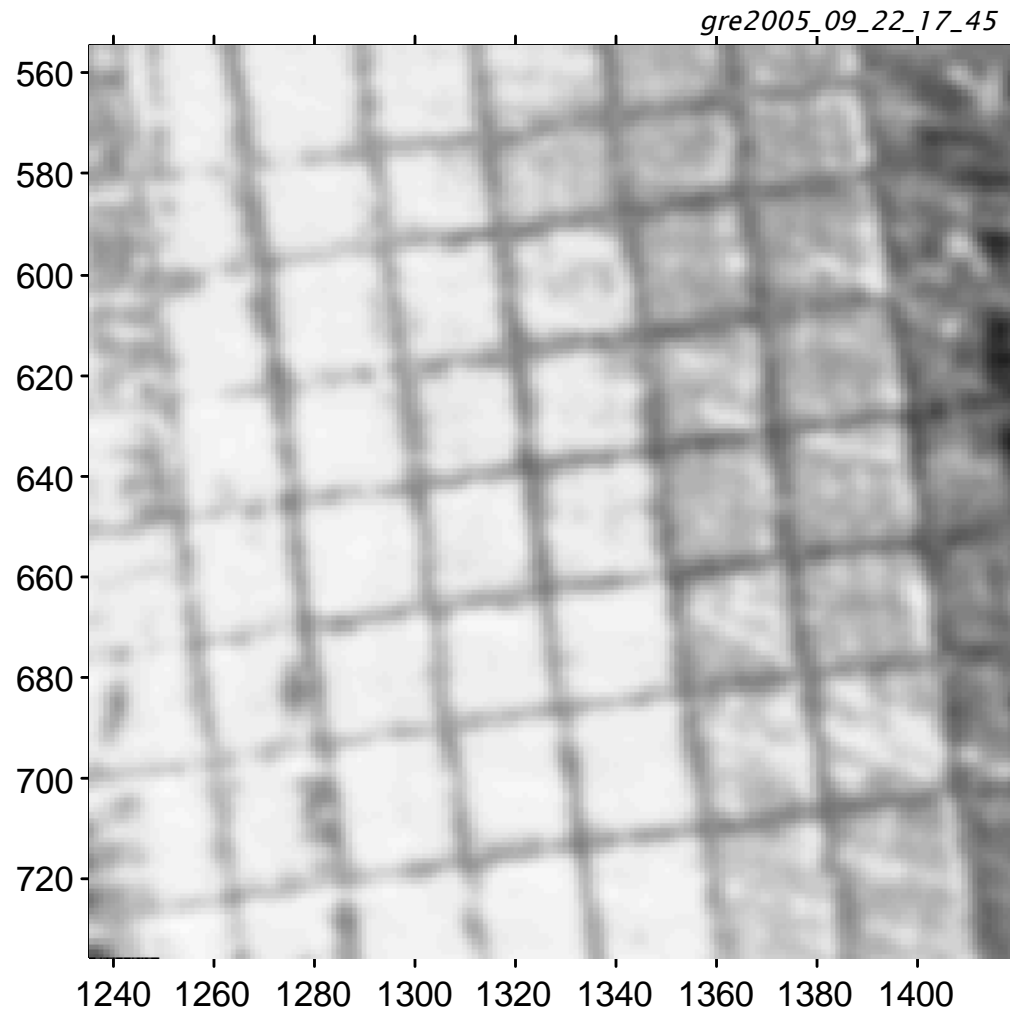


- arc paramétré :  $s \rightarrow \mathbf{k} := \begin{vmatrix} \mathbf{k}^x(s) \\ \mathbf{k}^y(s) \\ Y[\mathbf{k}^x(s), \mathbf{k}^y(s)] \end{vmatrix}$
- vecteur normal :  $\hat{n}$       • vecteur tangent :  $\hat{\tau}$
- courbure normale :  $\chi_n := \langle \hat{n}, \mathbf{k}_{ss} \rangle$
- théorème d'Euler :  $\chi_2 \leq \chi_n \leq \chi_1 \quad \forall \hat{\tau}$   
 $\chi^2 - 2\chi_m \chi + \chi_G = 0$
- courbure de Gauss :  $\chi_G := \chi_1 \chi_2$
- courbure moyenne :  $\chi_m := \frac{1}{2} (\chi_1 + \chi_2)$

$$\chi_G = \frac{\det(\mathbf{H})}{(1 + \|\mathbf{J}\|^2)^2}$$

$$\chi_m = \frac{\text{tr}(\mathbf{H}) - \mathbf{J}^t \mathbf{R}_{\pi/2}^t \mathbf{H} \mathbf{R}_{\pi/2} \mathbf{J}}{(1 + \|\mathbf{J}\|^2)^{3/2}}$$

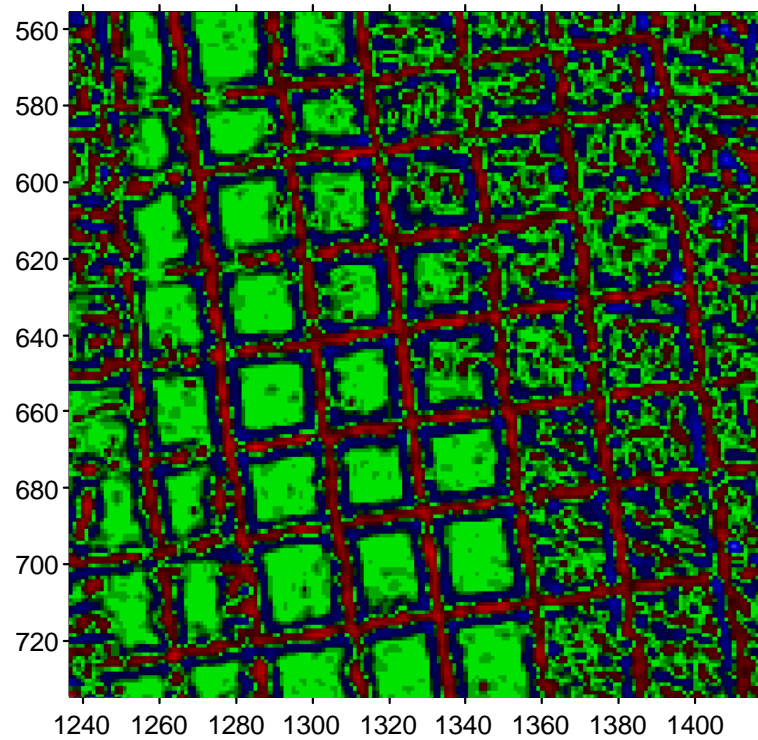
# ALGORITHME III – IMAGE DE DÉPART



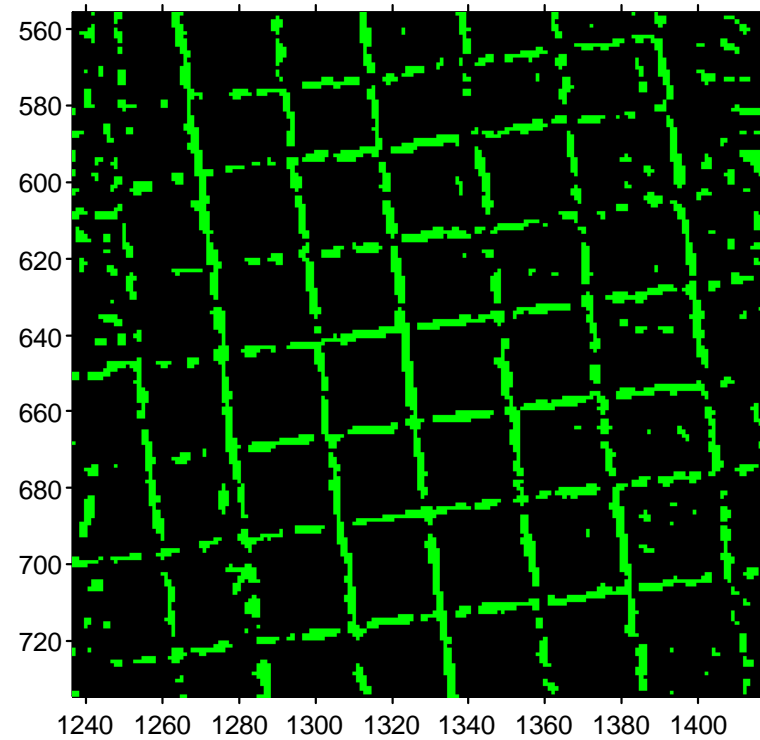
# ALGORITHME III – DÉTECTION DE BORD (1)

maximum local de la trace du hessien

tr(H)



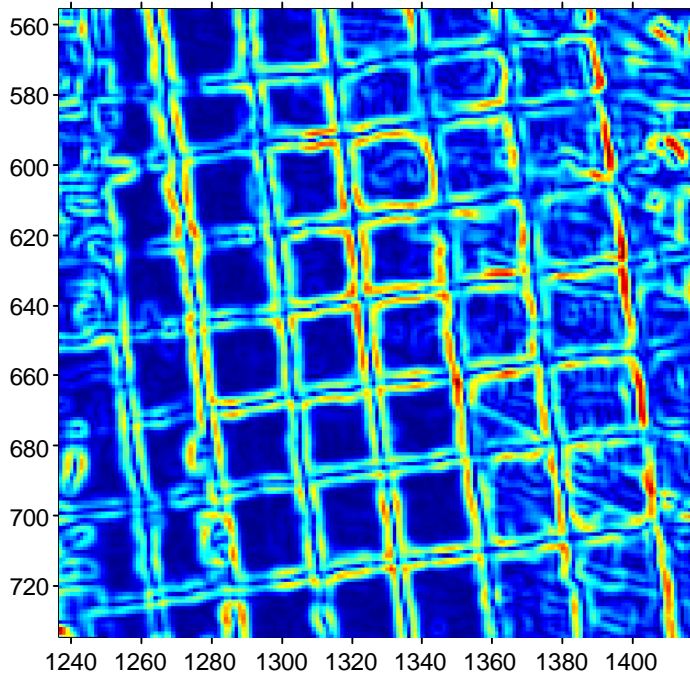
$\text{tr}(H) \geq 0.04$



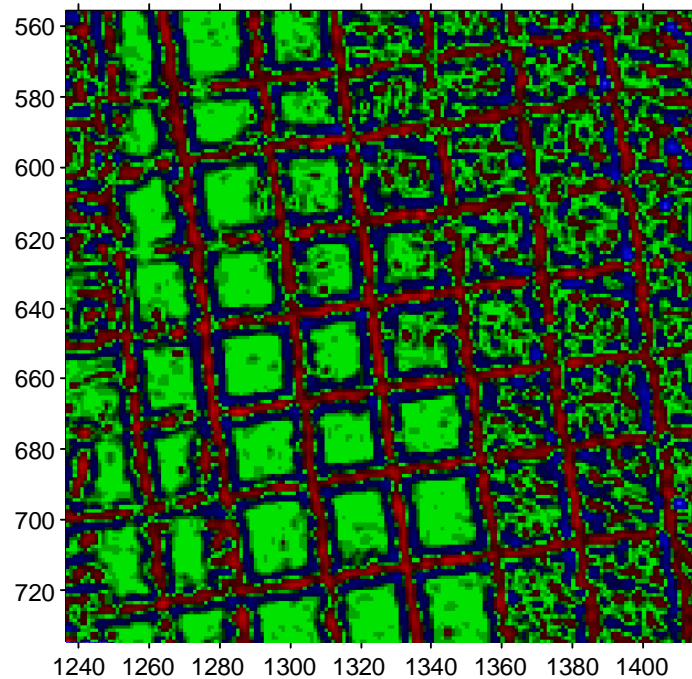
# ALGORITHME III – DÉTECTION DE BORD (2)

zéro local de la trace du hessien dans les zones de fort gradient

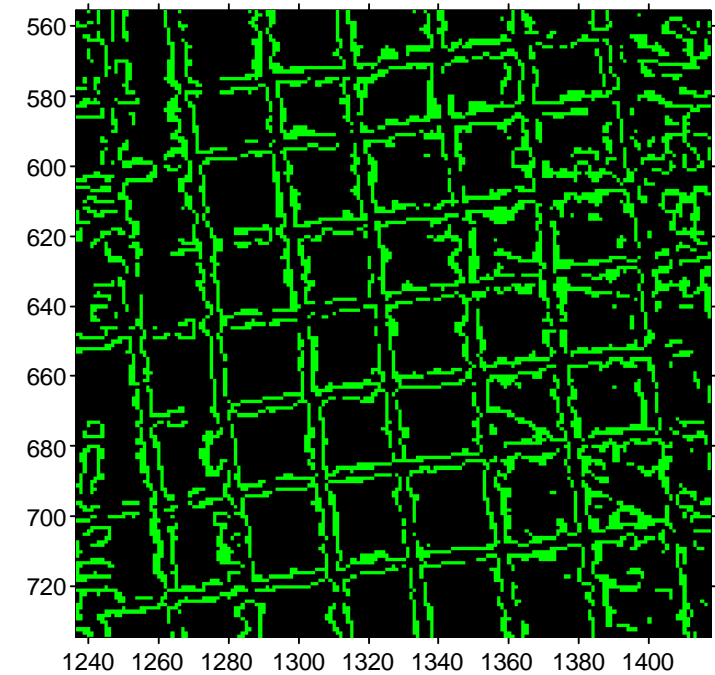
$||J||$



$\text{tr}(H)$



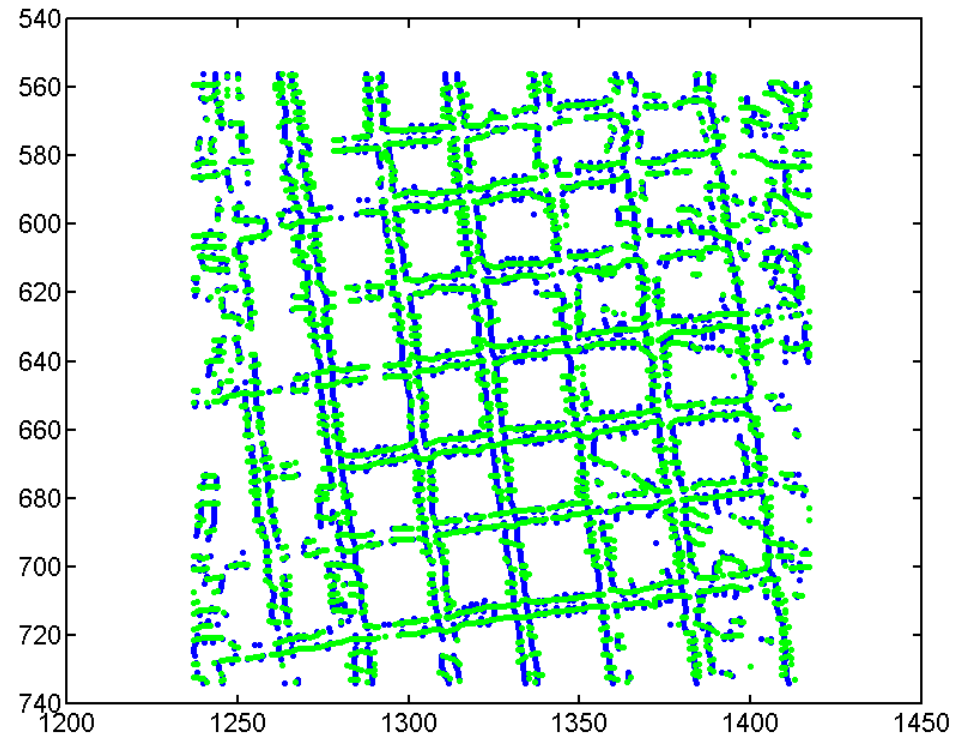
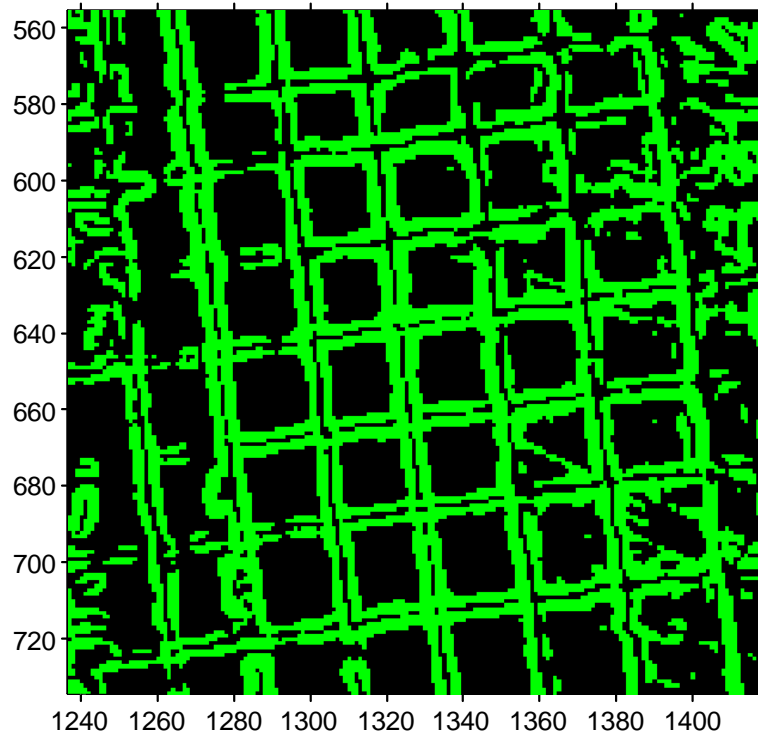
$||J|| \geq 0.04$   
&  
 $|\text{tr}(H)| \leq +0.03$



# ALGORITHME III – DÉTECTION DE BORD (3)

zéro local de la trace du hessien dans les zones de fort gradient,  
position calculée par interpolateurs en X et Y

$$||J|| \geq 0.04$$

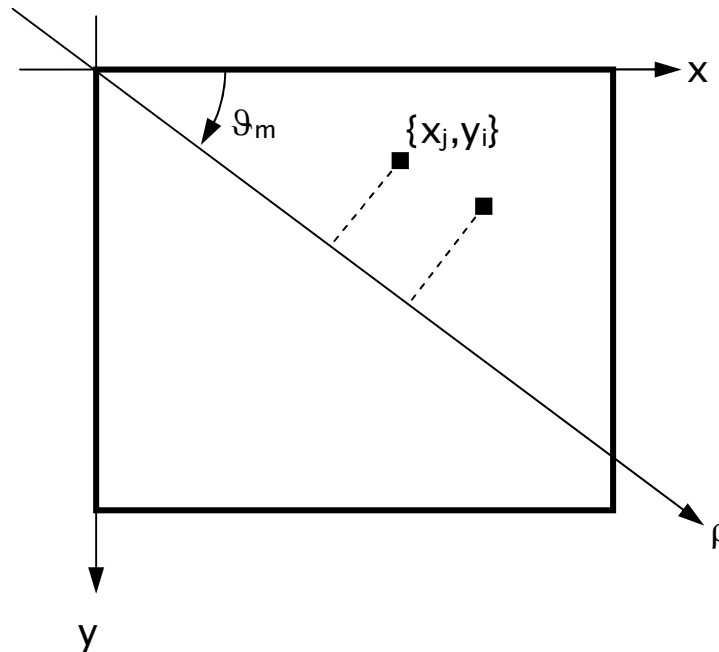


# ALGORITHME III – TRANSFORMATION DE HOUGH

(ce qu'il restait à faire...)

- identifier l'orientation polaire  $\vartheta$  et la position  $\{X,Y\}$  du motif
- **idée**: utiliser la transformation de Hough, qui génère l'histogramme

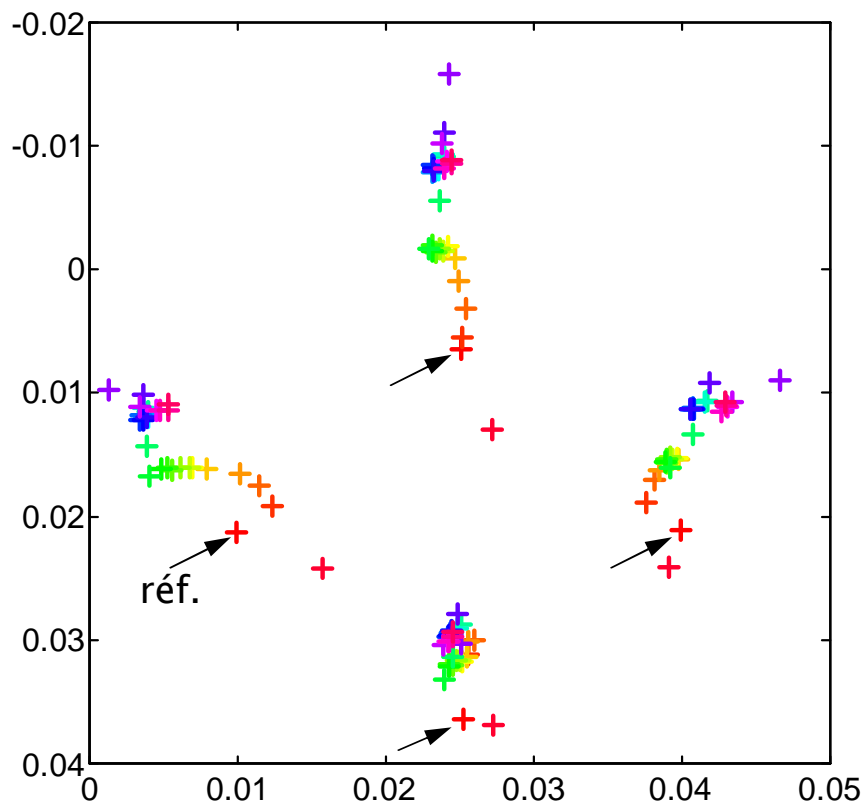
$$\{x_j, y_i\} \rightarrow N(\vartheta_m, \rho_n)$$



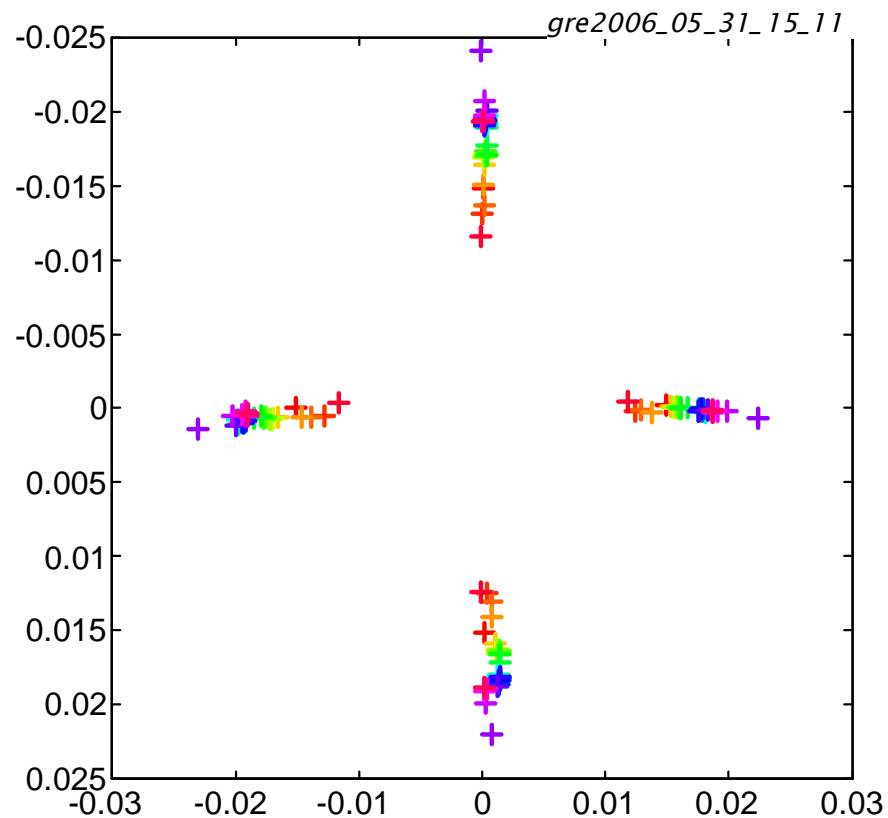
# MOUVEMENTS RELATIFS – COMPENSATION DE LA DÉRIVE MOYENNE

$[x] = [y] = m.$   
mouvement x 200

avant compensation



après compensation



# MOUVEMENTS RELATIFS DANS L'ESPACE DES COORDONNÉES DU RFQ

- déformations induisant des perturbations de tension au 1er ordre:

$$d_{QQ} = (d_{12} + d_{23} + d_{34} + d_{41}) / 4 \quad (\text{perturbation quadrupolaire Q})$$

$$d_{SQ} = (d_{12} - d_{34}) / 2 \quad (\text{perturbation dipolaire S})$$

$$d_{TQ} = (d_{41} - d_{23}) / 2 \quad (\text{perturbation dipolaire T})$$

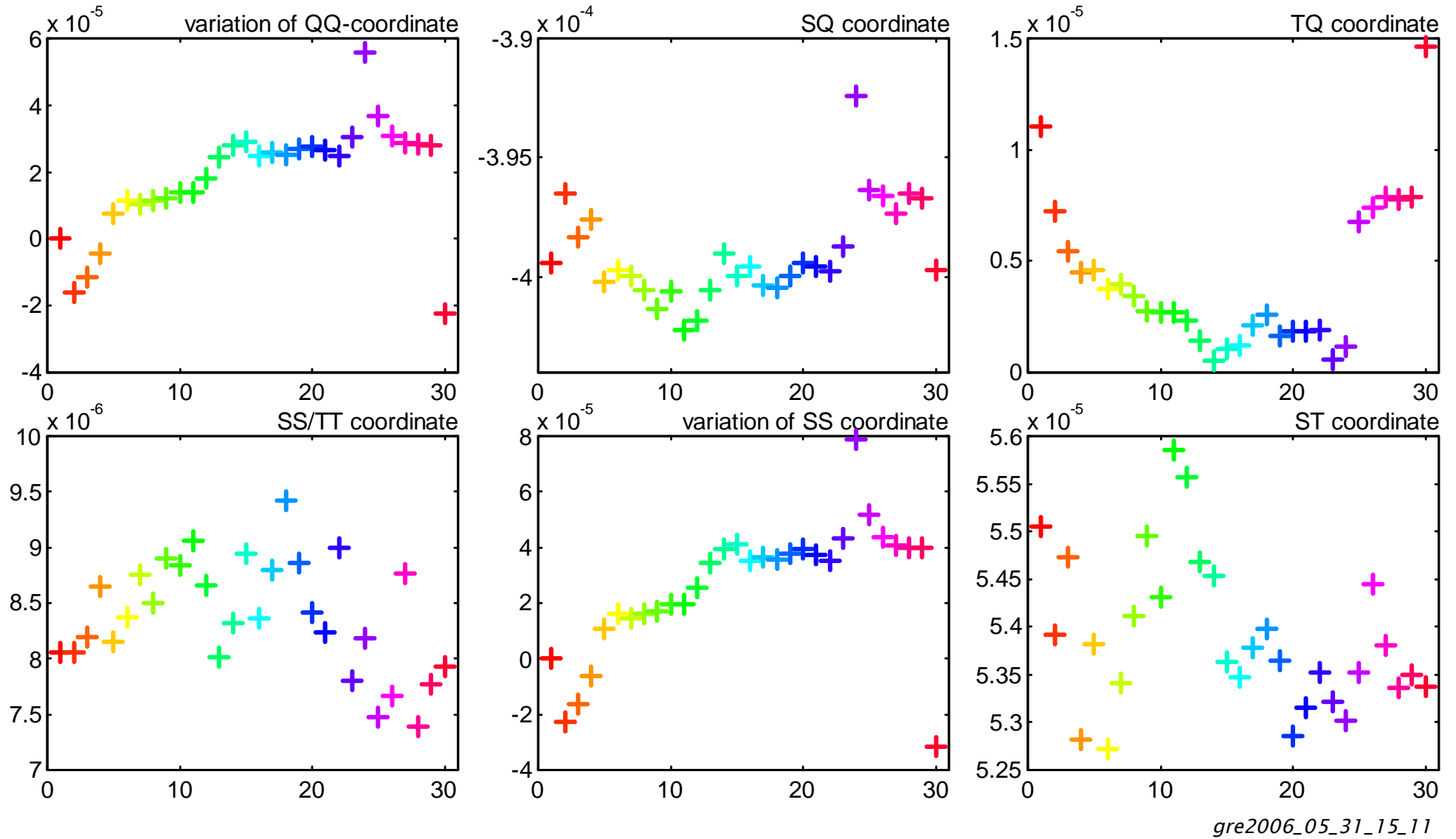
- déformations induisant des perturbations de tension au 2nd ordre:

$$d_{SSTT} = (d_{12} - d_{23} + d_{34} - d_{41}) / 4$$

$$d_{SS} = (d_{13} + d_{24}) / 2$$

$$d_{ST} = (d_{13} - d_{24}) / 2$$

# MOUVEMENTS RELATIFS DANS L'ESPACE DES COORDONNÉES DU RFQ



# LUMIÈRES DANS LA NUIT . . .

